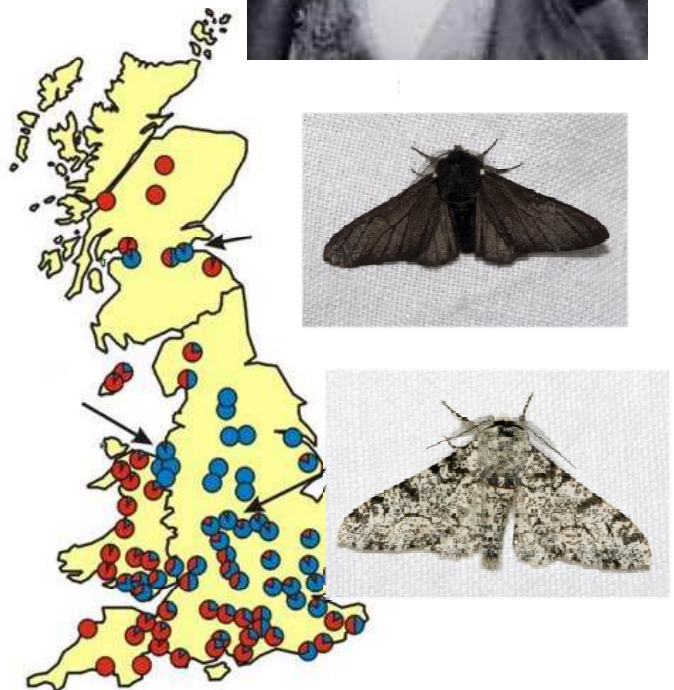
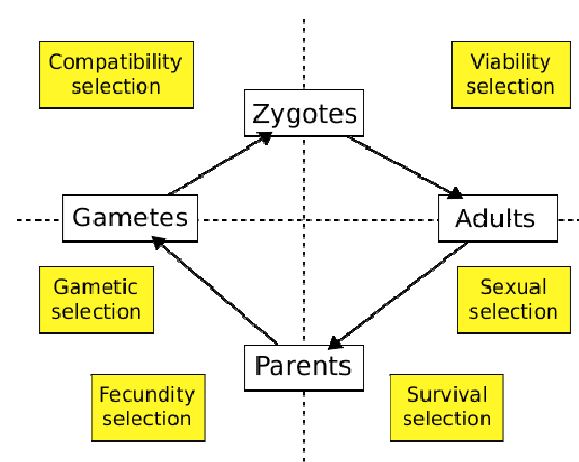
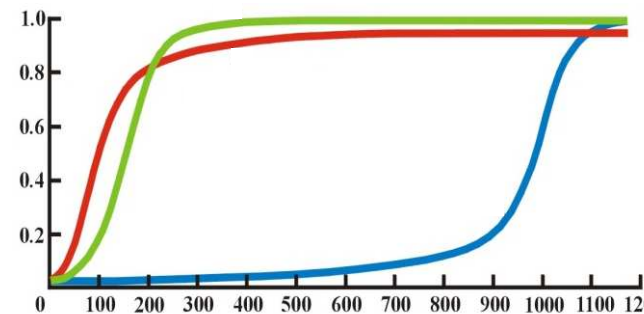
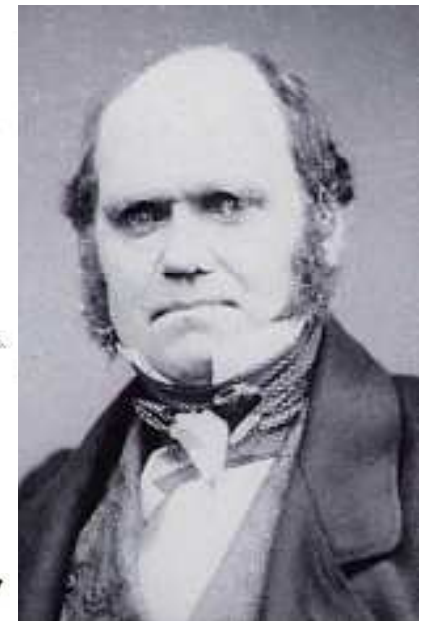
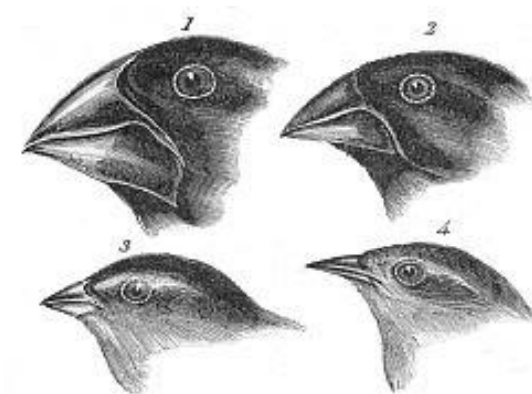
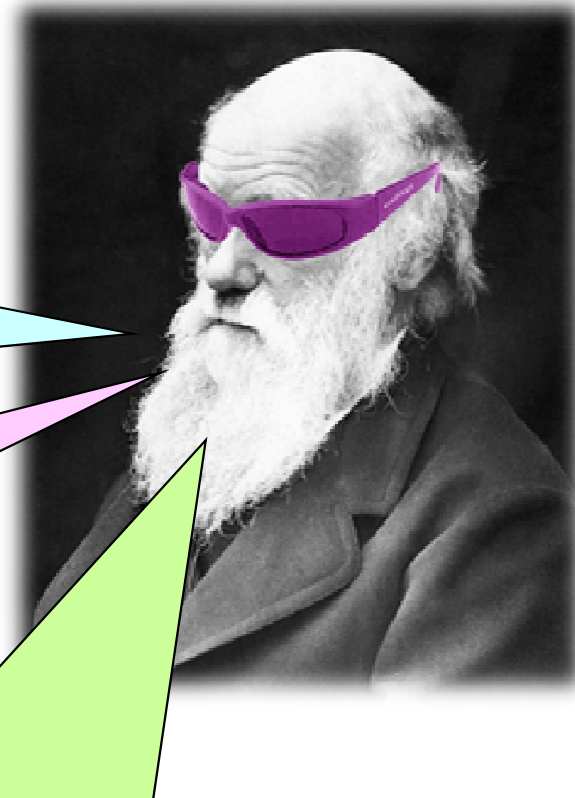


PŘÍRODNÍ VÝBĚR (SELEKCE)



Evoluce přírodním výběrem:

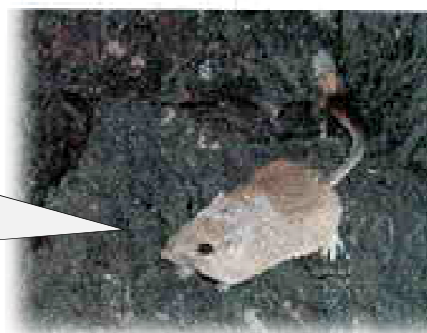
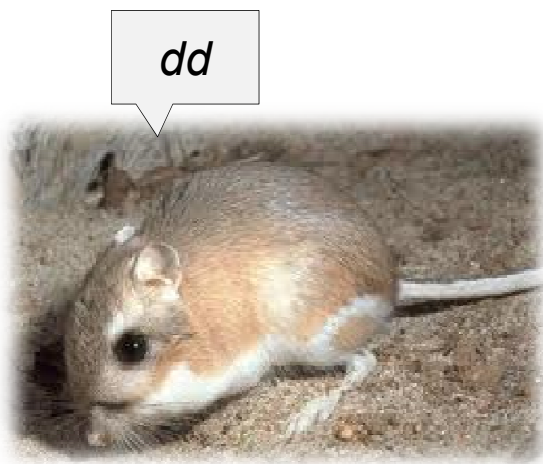


Mezi jedinci (genotypy) existují geneticky podmíněné rozdíly v přežívání a reprodukci.

Všechny organismy produkují více potomstva, než kolik může přežít a rozmnožit se.

V každé generaci dochází k odlišnému přispění jednotlivých genotypů do generace následující, tj. nejschopnější genotypy přispívají do genofondu více než genotypy méně schopné.

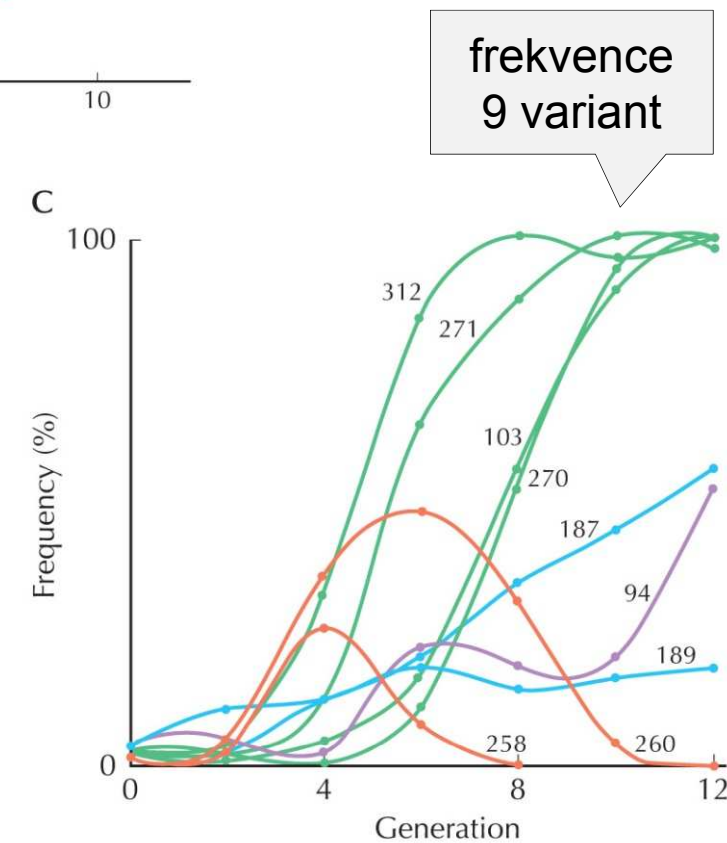
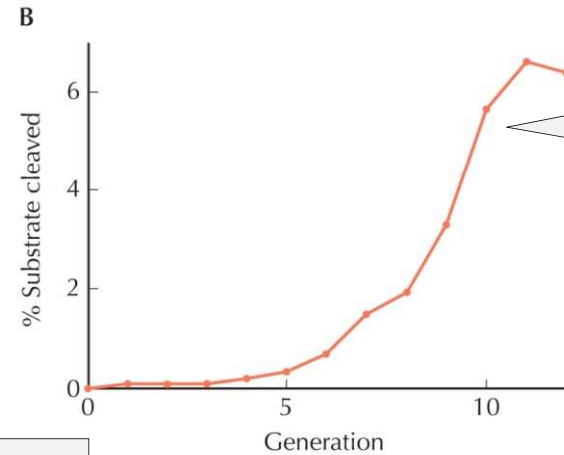
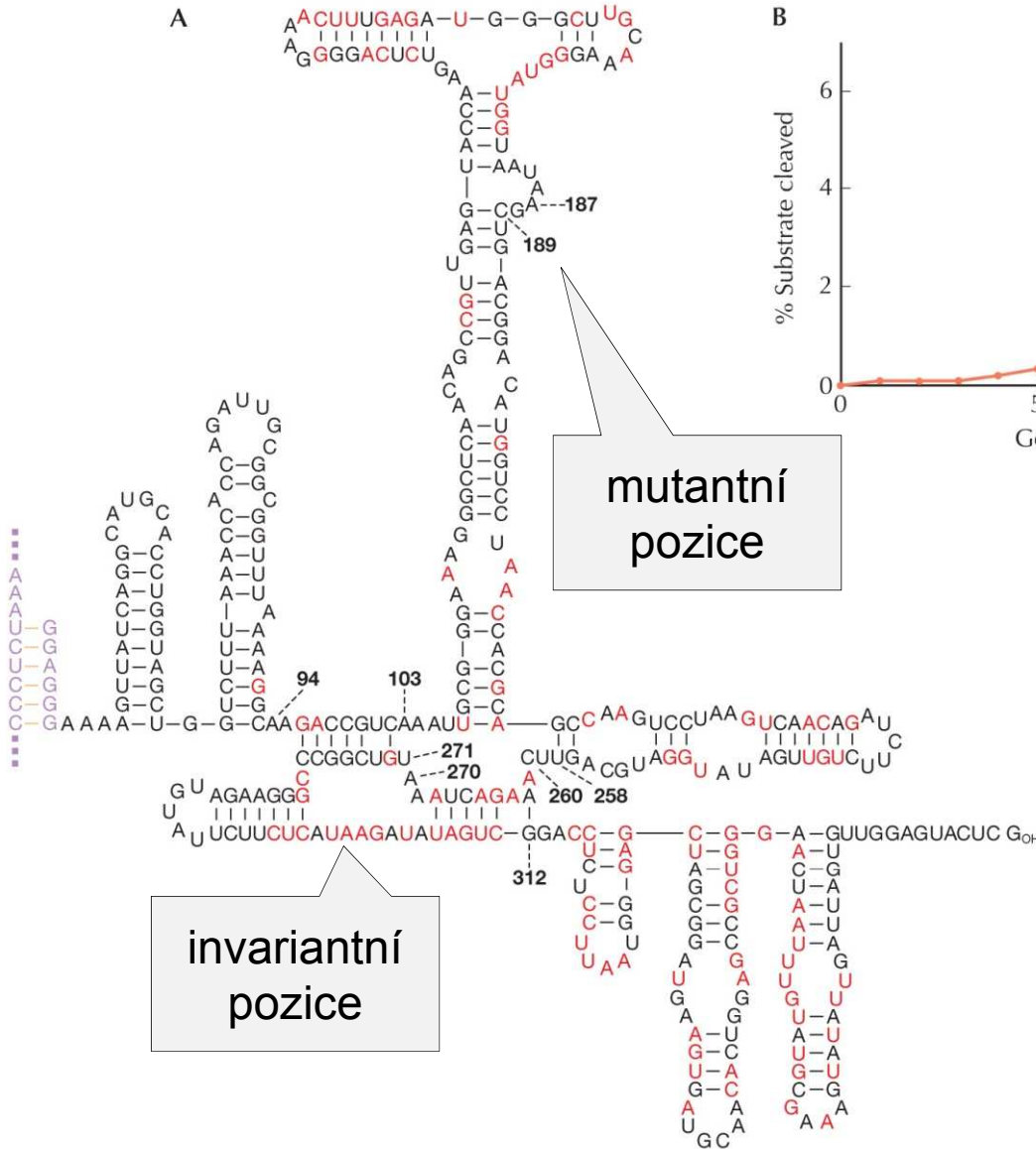
Pytlouš skalní (*Chaetodipus intermedius*): Sonorská a Čivavská poušt'



60-98 % přežívání
ve srovnání
s tmavými

Selekce na úrovni RNA:

intron *Tetrahymena*: Ca⁺ místo Mg⁺ (normální stav)



REPRODUKČNÍ ZDATNOST (FITNESS, w)

= celoživotní průměrný příspěvek jedinců s daným genotypem do populace v průběhu jedné nebo více generací

absolutní počet potomků = **absolutní fitness**

diskrétní generace, stabilní populace → fitness ≈ 1 u asexuálních organismů, ≈ 2 u pohlavně se rozmnožujících; i při mírné odchylce populace spěje buď k extinkci, nebo přemnožení

kontinuální časová škála → míra změny populační velikosti ≈ 0

v evoluci důležitější vzájemný vztah genotypů v populaci → **relativní fitness**

diskrétní čas → = poměr absolutních fitness; kontinuální čas → = rozdíl míry růstu

většinou relativní fitness nejzdatnějšího genotypu = 1
alternativně můžeme vztahovat k průměrné fitness populace

Komponenty fitness:

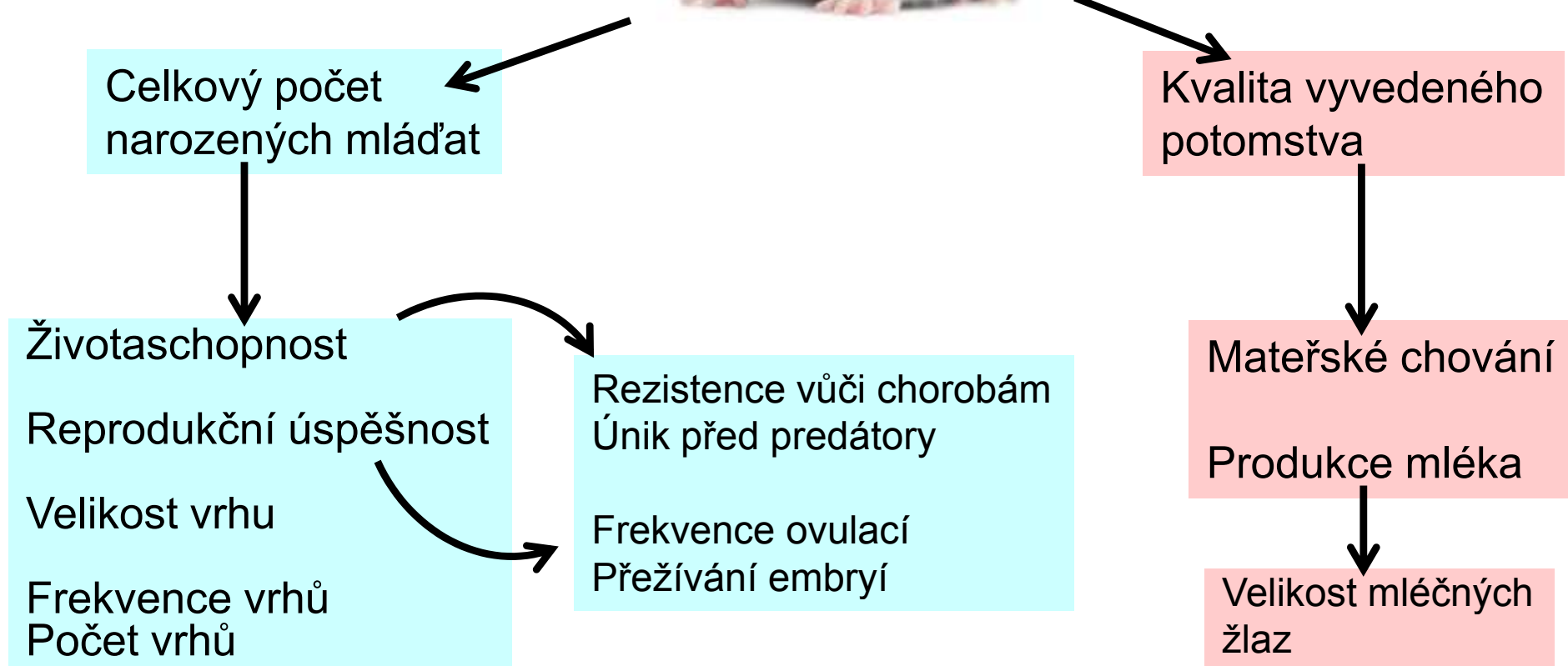
životaschopnost (viabilita)



reprodukční úspěšnost

plodnost





zygotická selekce:

životaschopnost
rozmnožovací úspěšnost
plodnost



gametická selekce:

životaschopnost gamet
fertilizační úspěšnost
zvýhodnění při segregaci



Změna alelových frekvencí a selekční koeficient, s

Fitness při dominanci:

$$AA \quad 1$$

$$Aa \quad 1$$

$$aa \quad 1 - s$$

$$\text{prům. } s(aa) \approx 0,20$$



$$\begin{aligned} w &= 0,60-0,98 \\ \Rightarrow s &= 0,02-0,40 \end{aligned}$$

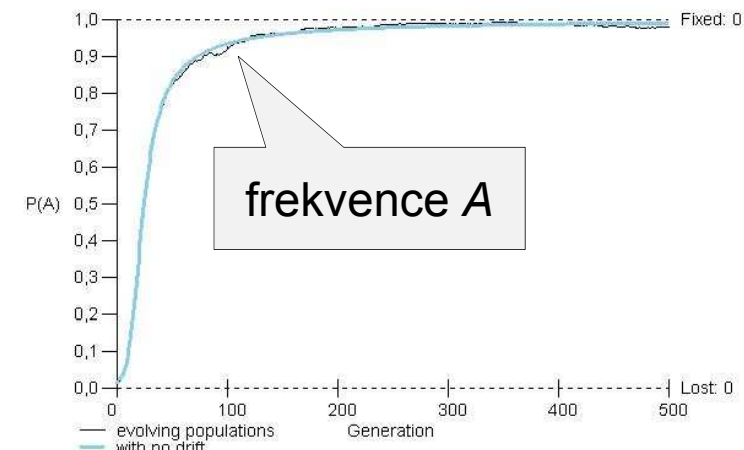
změna největší
při $p=q=0,5$

Růst výhodné dominantní alely A :

nepřímo úměrné průměrné fitness
populace $\Rightarrow s$ rostoucí frekvencí
výhodné alely se evoluce zpomaluje;
při q nebo $p = 0$ je $\Delta p = 0$

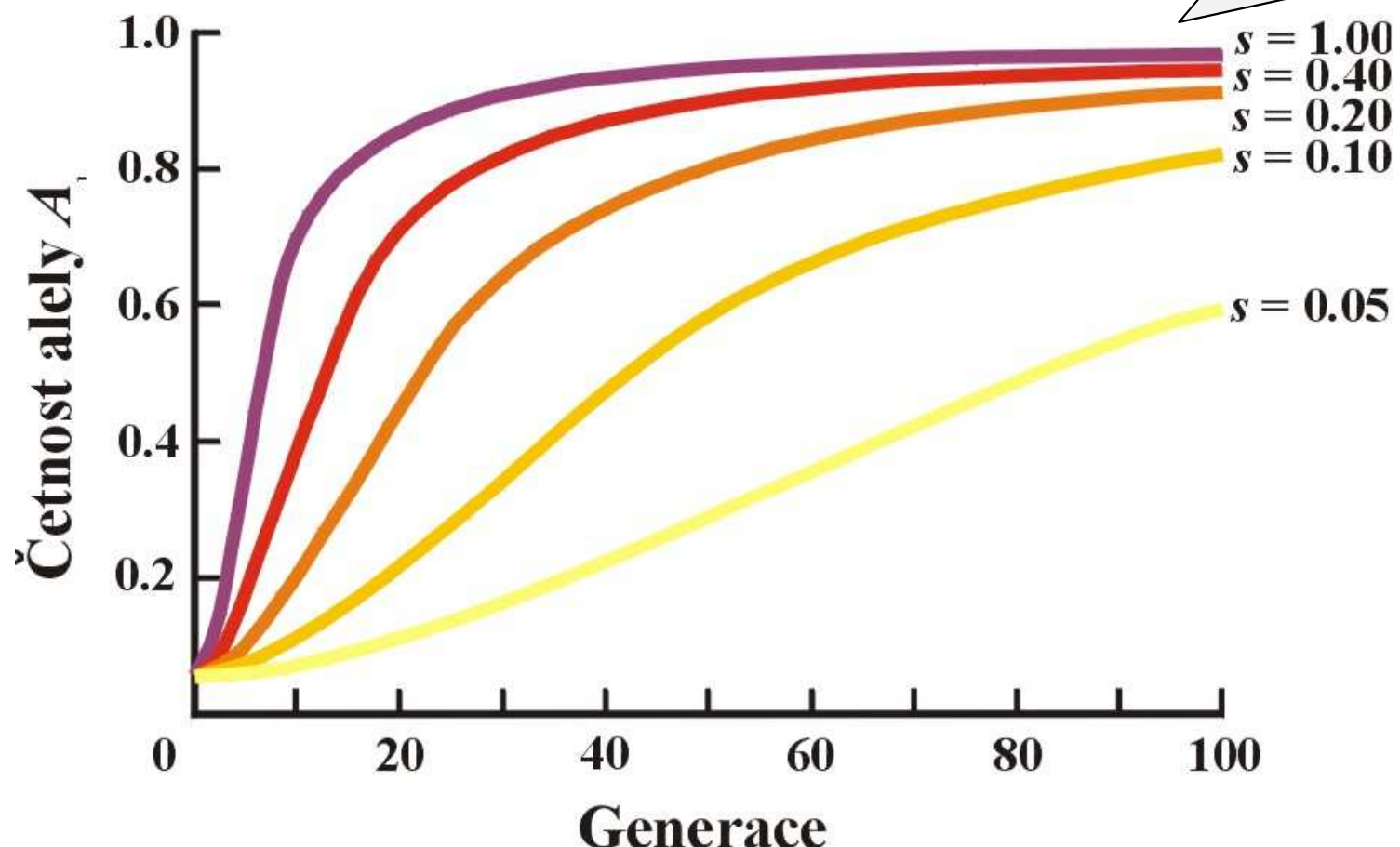
$$\Delta p = p' - p = \frac{pq^2s}{1-q^2s}$$

Při $s = 0,20$ a počáteční frekvenci $A = 0,01$
vzroste frekvence na 0,95 za cca. 120 generací

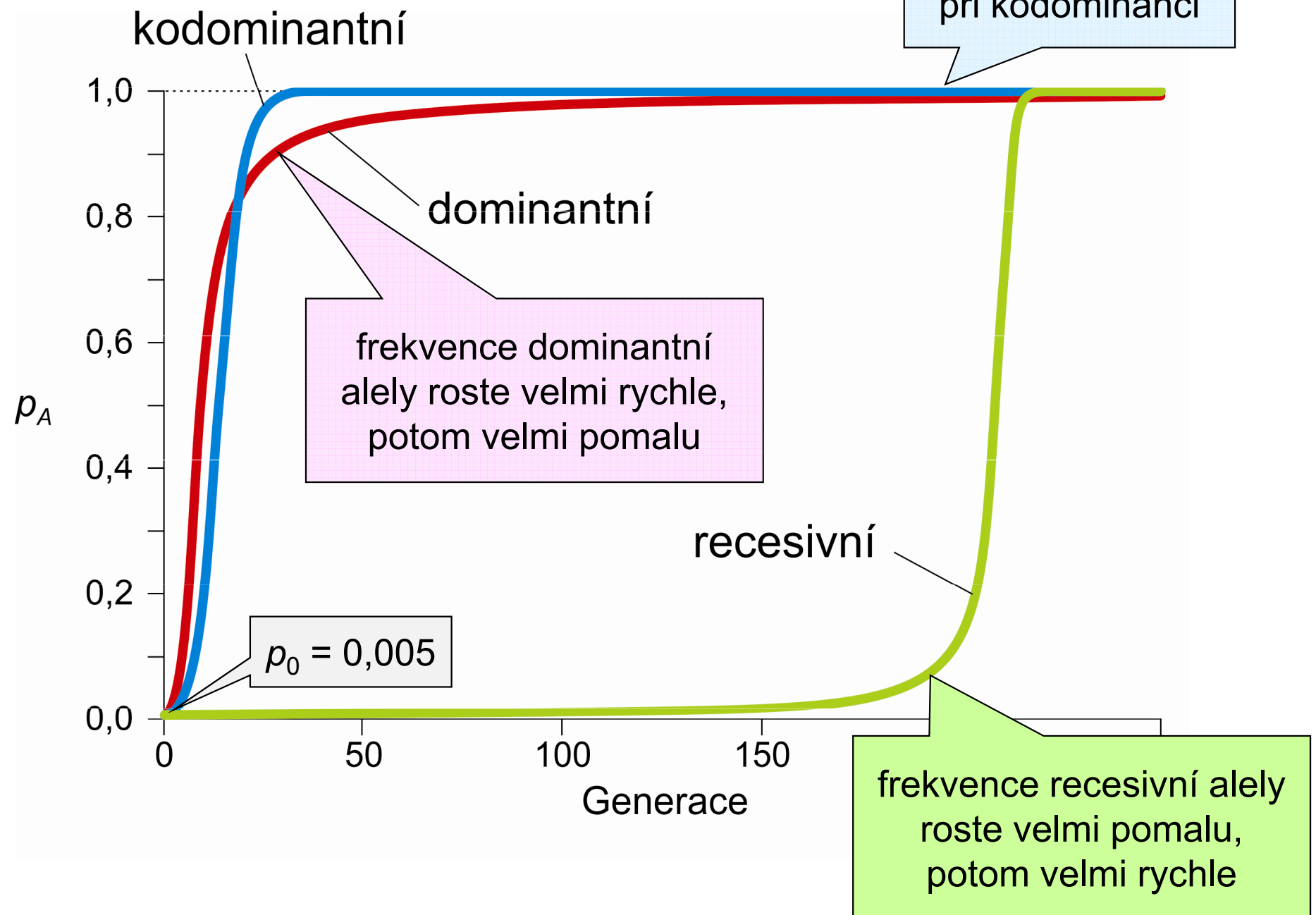


Růst výhodné dominantní alely A :

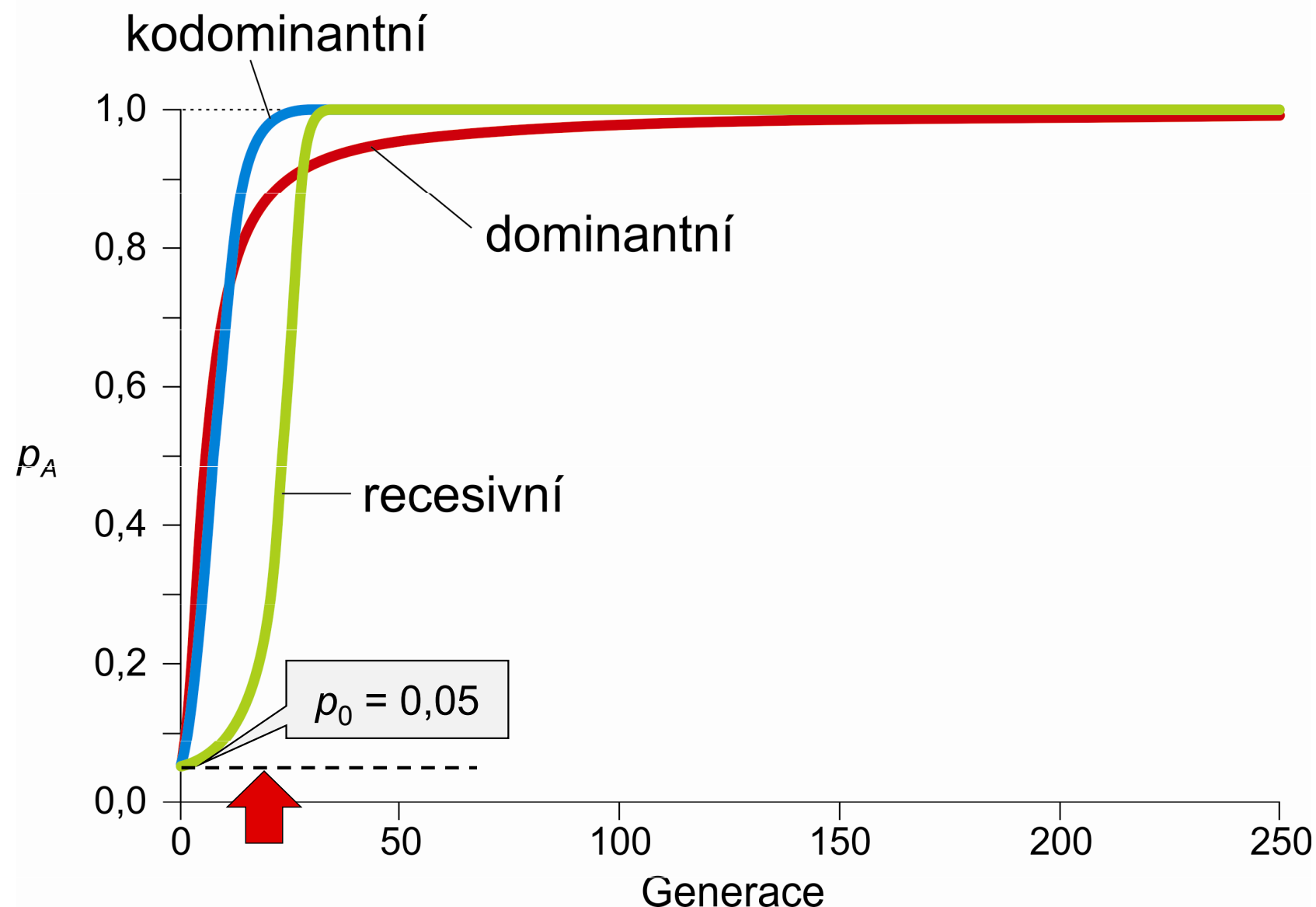
čím je s větší (tj. selekce silnější), tím je změna rychlejší



Selekce a dominance



Vliv počáteční frekvence alely:



STUDIUM PŘÍRODNÍHO VÝBĚRU:

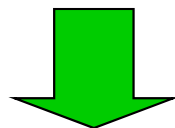
1. korelace alelových frekvencí mezi populacemi

Adh^F u D. melanogaster



2. odchylky od očekávaných genotypových frekvencí (HW)

3. změny znaku v čase:



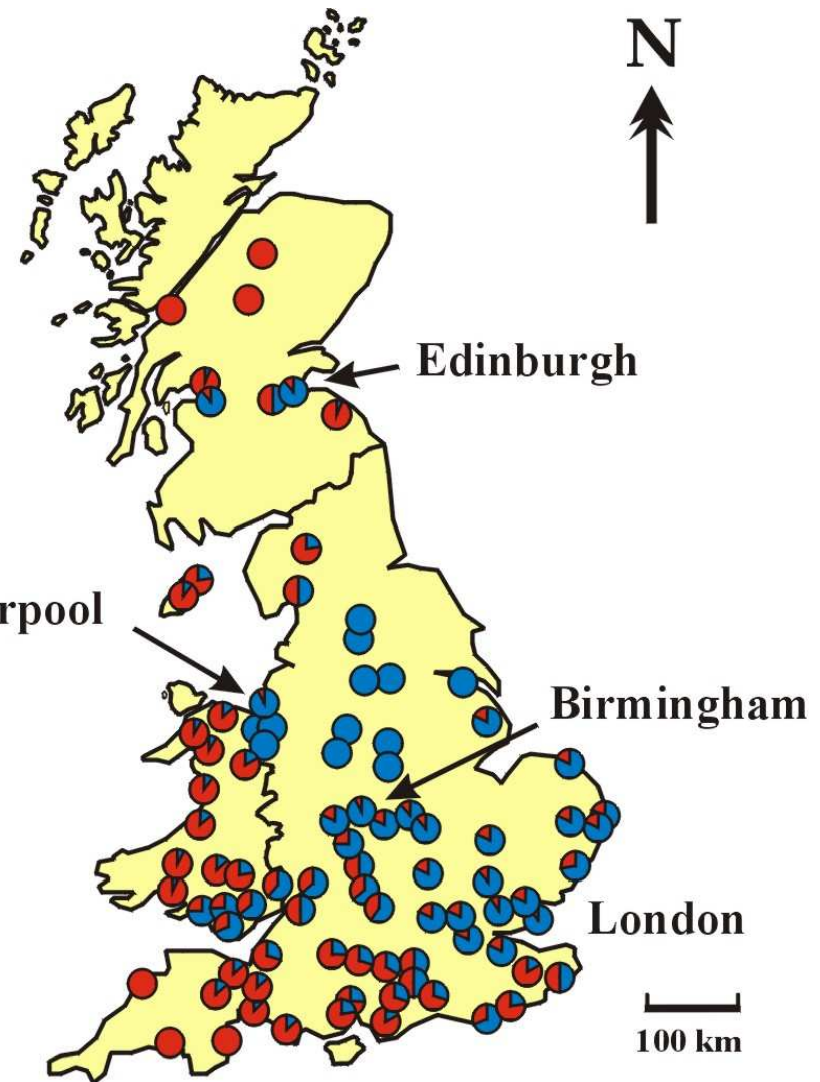
průmyslový melanismus
Biston betularia v Británii



● „typica“



● „carbonaria“



4. experimentální důkazy: H.B.D. Kettlewell



Bernard Kettlewell



Light and dark Peppered moths



Birmingham (znečištěná oblast)

Počet zpětně odchycených:

pozorovaný	18
očekávaný	36

Relativní míra přežívání

Relativní fitness

Deanend Wood (neznečištěná oblast)

Počet zpětně odchycených:

pozorovaný	67
očekávaný	53

Relativní míra přežívání

Relativní fitness

Světlá forma (*typica*)

Tmavá forma (*carbonaria*)

140

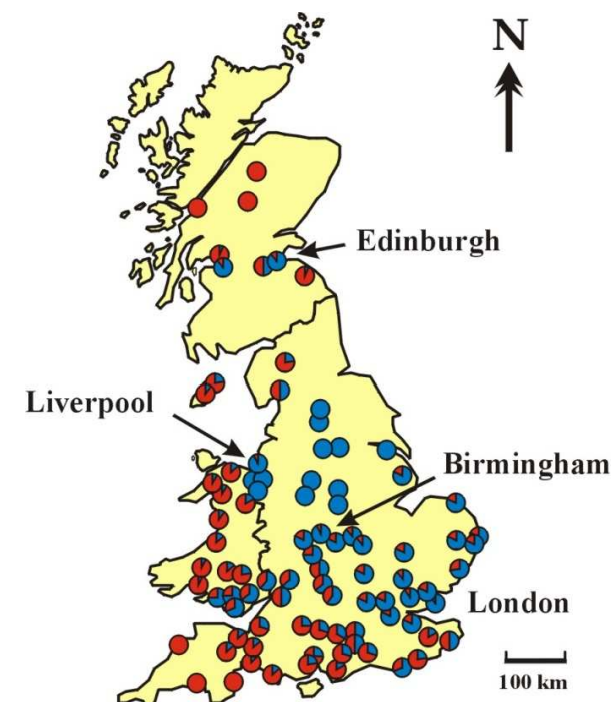
122

1,15

$1,15/1,15 = 1$

Světlá forma (*typica*)

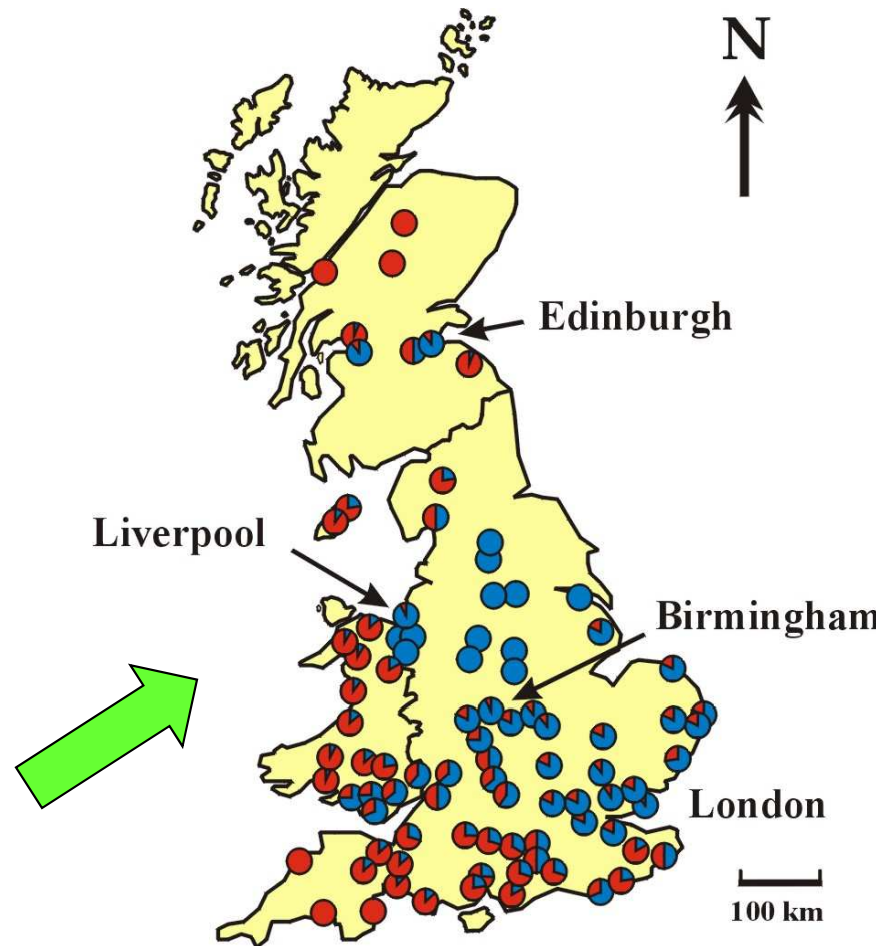
$0,69/1,26 = 0,55$



Kritika a problémy:

~90 % predace ze strany netopýrů × tyto smrti neselektivní!

v některých oblastech slabá korelace mezi melanismem a imisemi
× aktivní i pasivní migrace



Kritika a problémy:

chyby v experimentu?

drsnokřídlec přes den na horizontálních větvích, ne na kmeni (jiné druhy lišejníků)

u motýlů i ptáků percepce UV záření (v UV lumenitě lišejníky na horizontálních větvích tmavé stejně jako *carbonaria*)

× 40 % na kmenech

zvýšení frekvence melanických forem ve znečištěných oblastech i u druhů neohrožených predací hmyzožravých ptáků (holubi, kočky, někt. brouci)

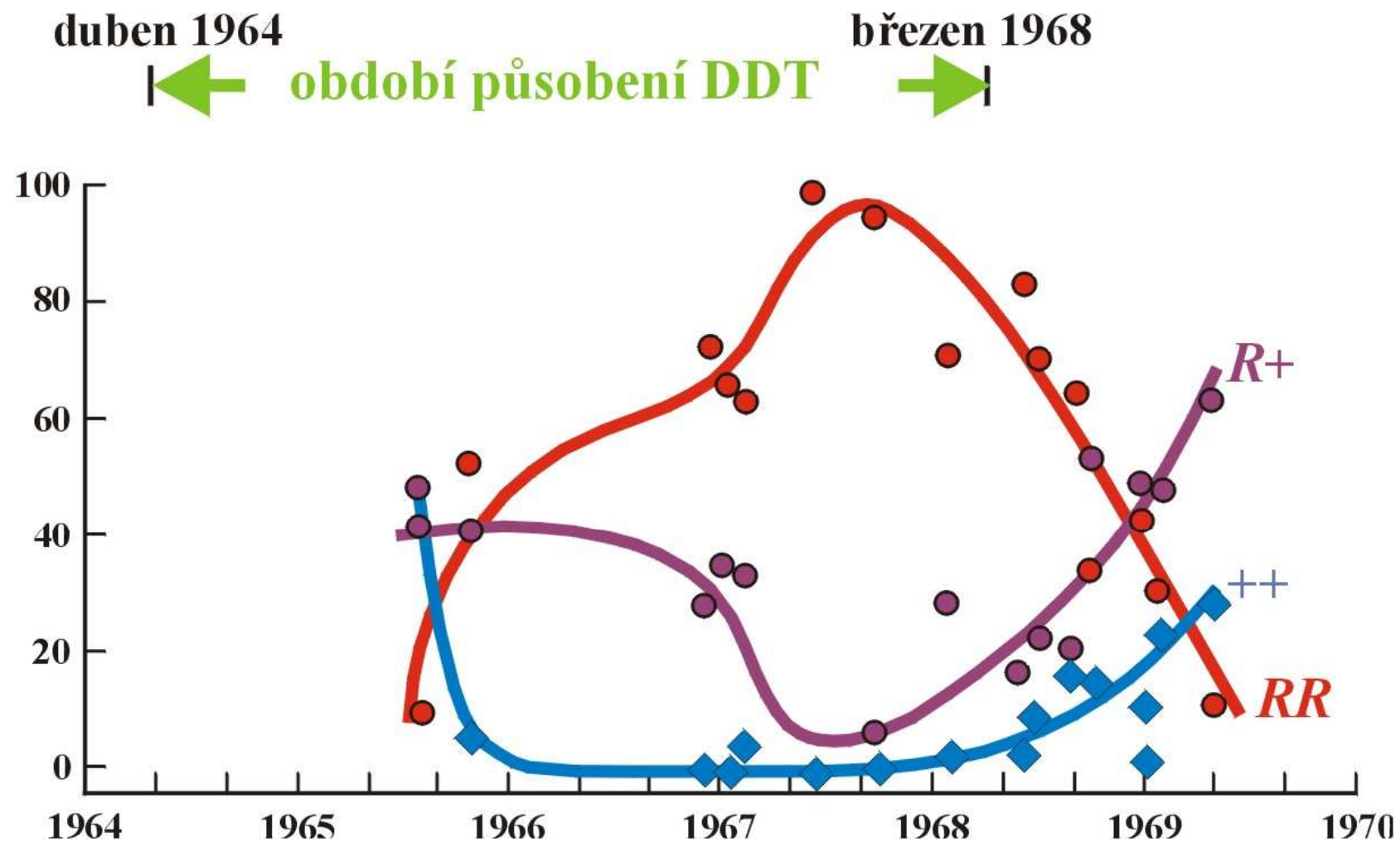
v laboratorních podmínkách životaschopnost *typica* o 30 % nižší než u *carbonaria*

lepší absorpcie slunečního záření u melanické formy?
(slunéčko dvoutečné)

2000–2012 Michael Majerus: ~5000 můr, potvrzení hypotézy

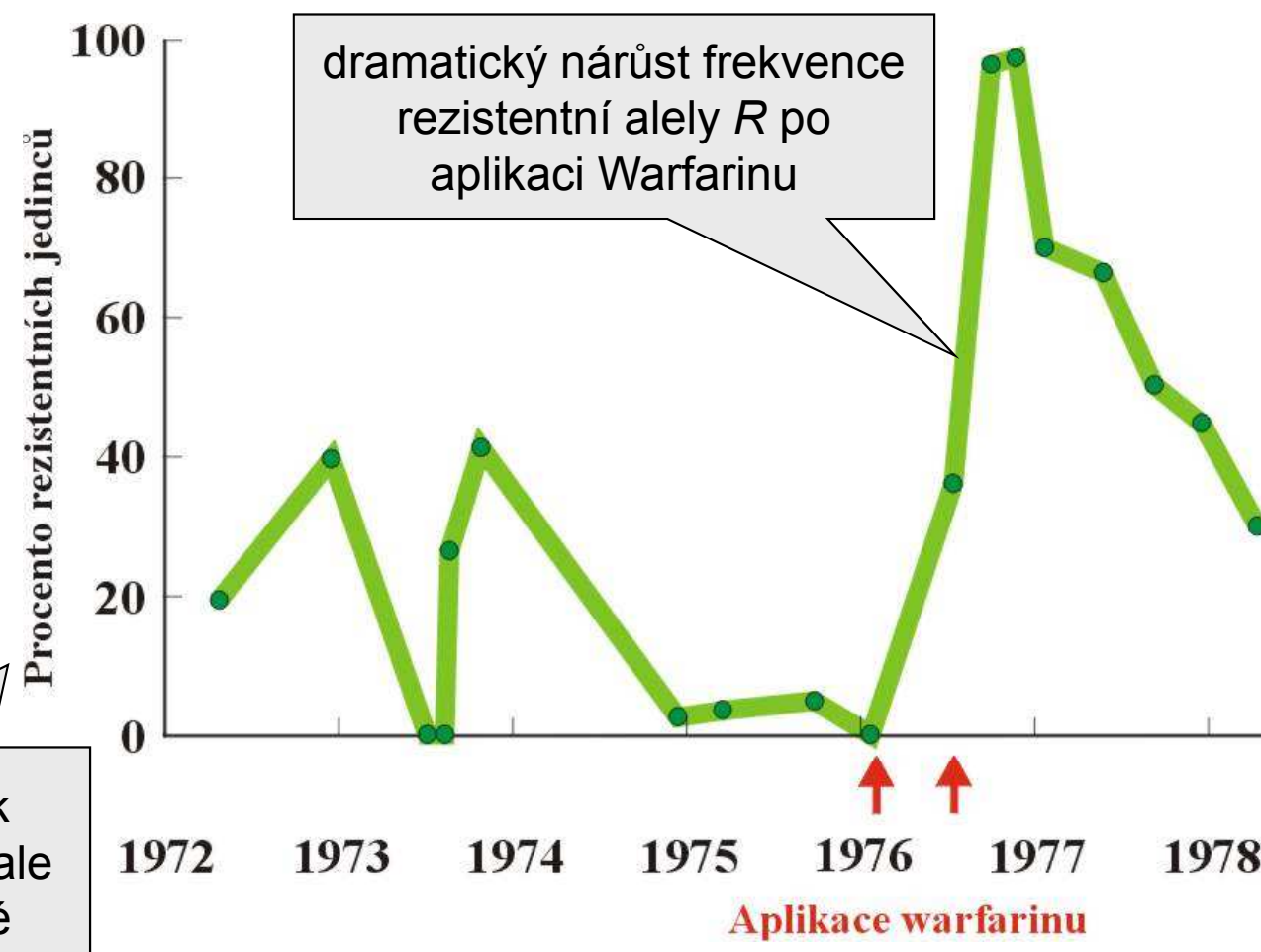
5. vznik rezistence

Př.: rezistence vůči DDT u komárů (*Anopheles*, *Aedes*):



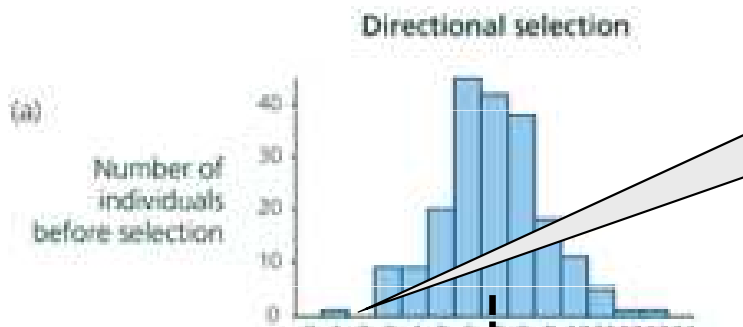
Př.: rezistence vůči Warfarinu u potkanů:

Warfarin = krevní antikoagulant, inhibující enzym odpovědný za regeneraci vitaminu K (kofaktor krevního srážení)



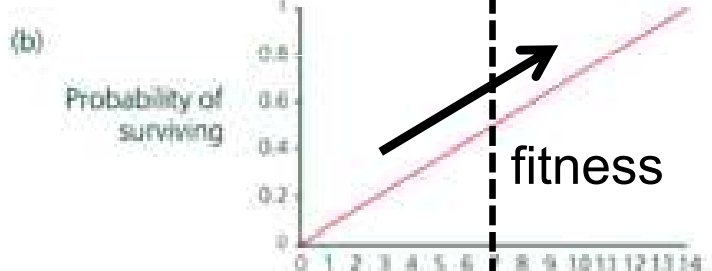
Vztah fenotypu a fitness: základní selekční režimy

usměrňující

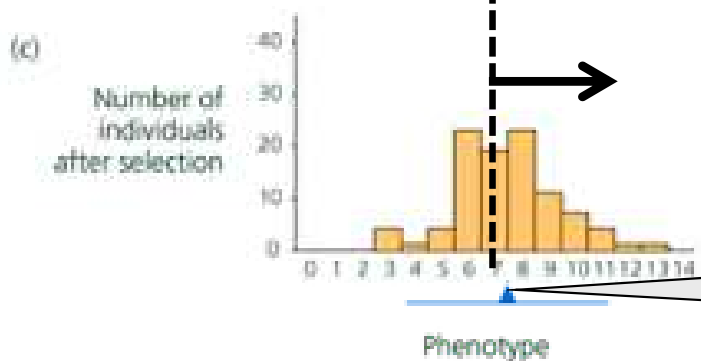


tyto fenotypy jsou odstraňovány selekcí

původní průměr



konzistentní změna prostředí
posun průměru
stejný rozptyl

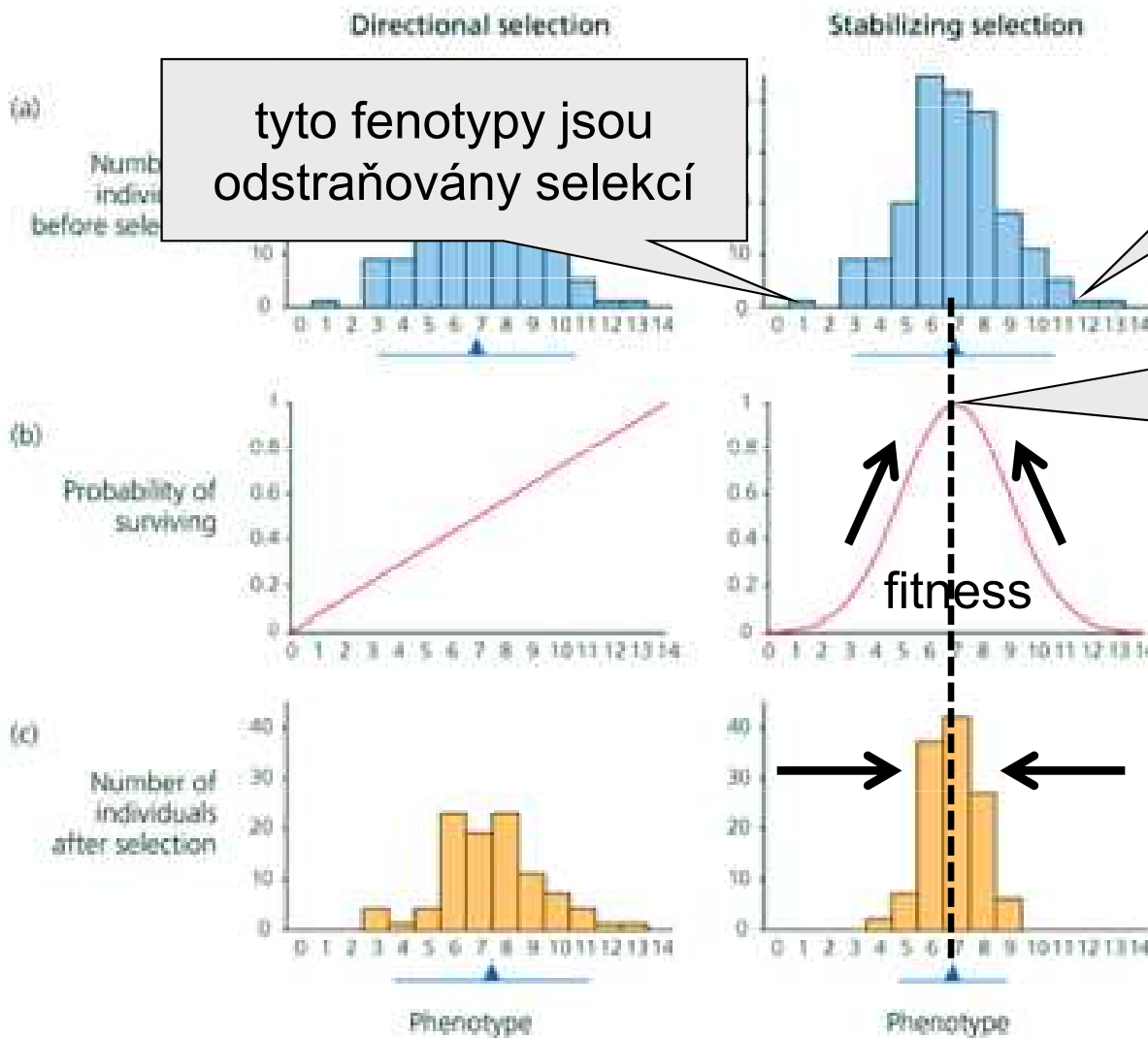


průměr po selekci

Vztah fenotypu a fitness: základní selekční režimy

usměrňující

stabilizující

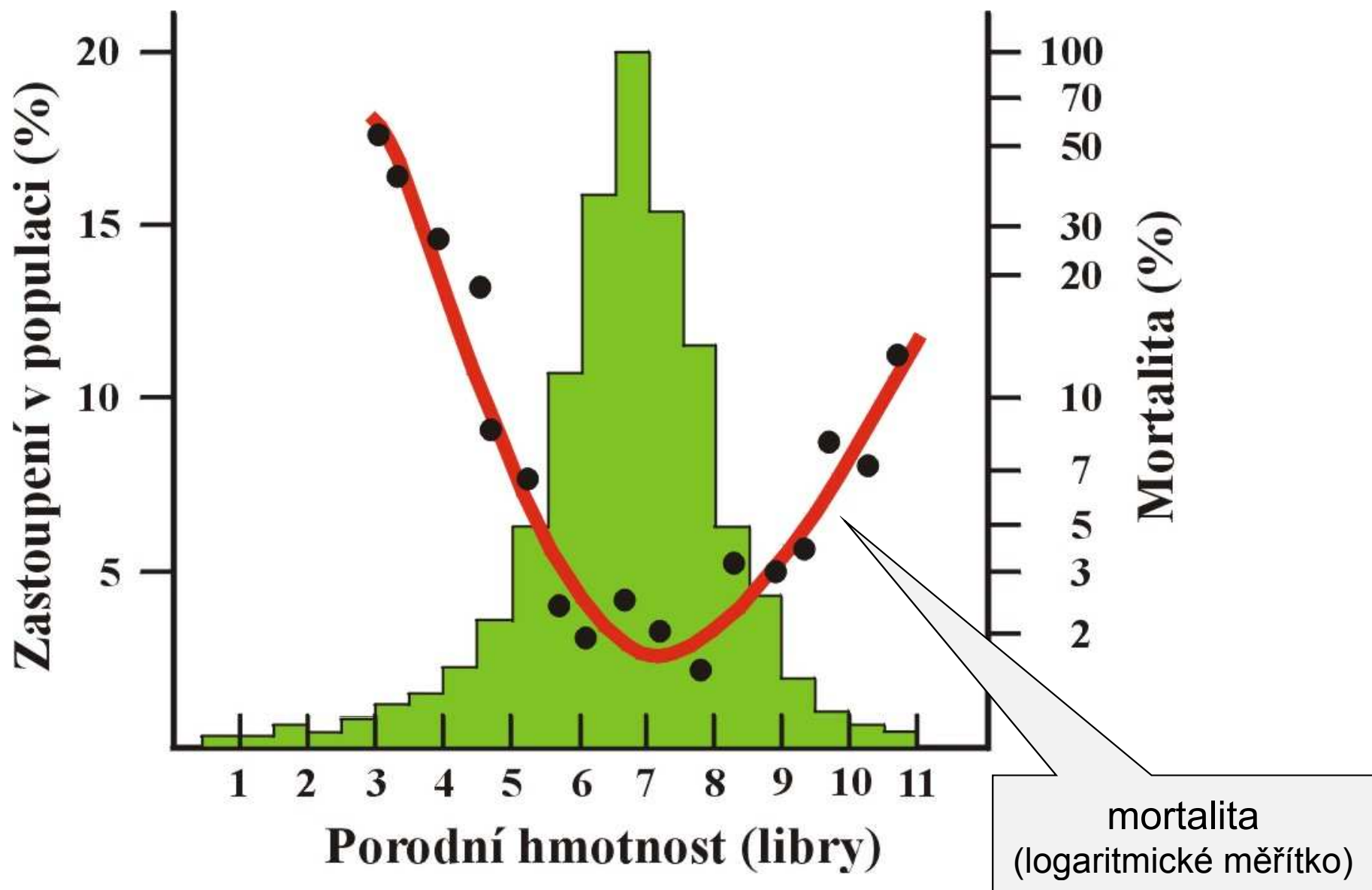


tyto fenotypy jsou odstraňovány selekcí

nejvyšší fitness mají jedinci s průměrným fenotypem

stabilní prostředí průměr stejný menší rozptyl

stabilizující selekce - porodní hmotnost u člověka

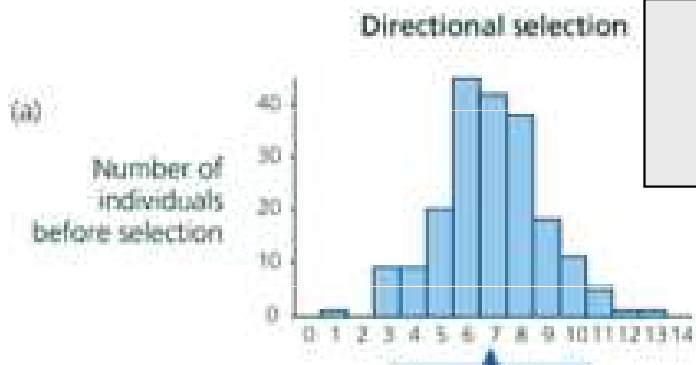


Vztah fenotypu a fitness: základní selekční režimy

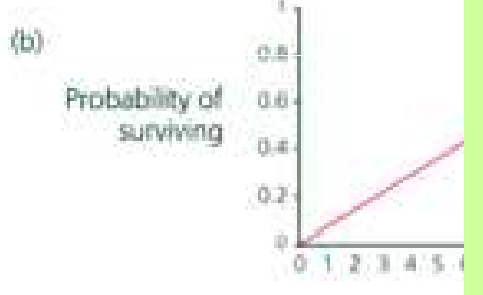
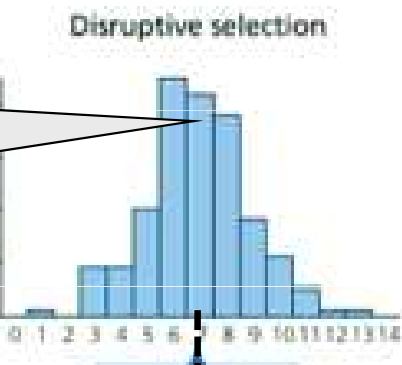
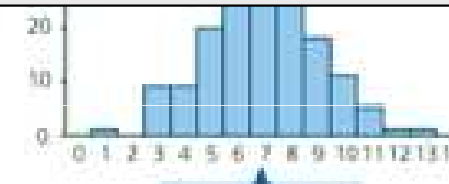
usměrňující

stabilizující

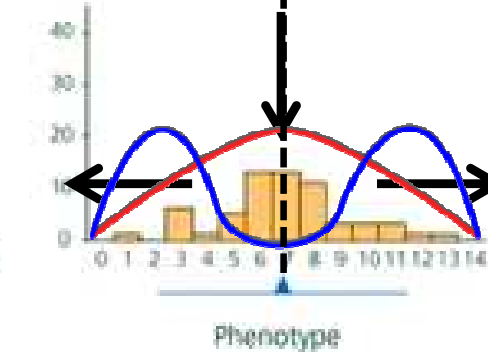
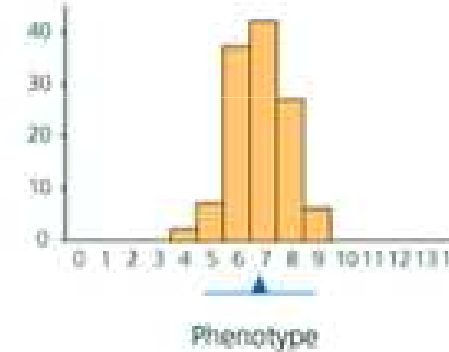
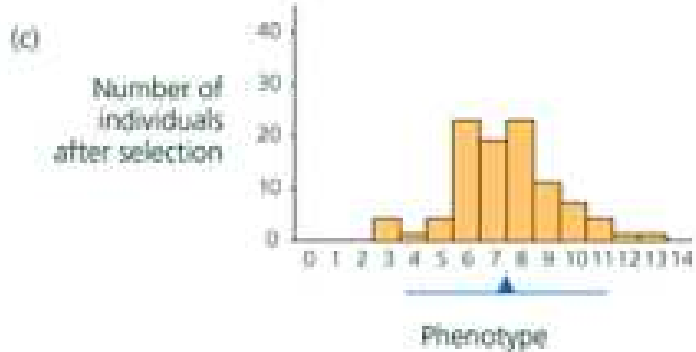
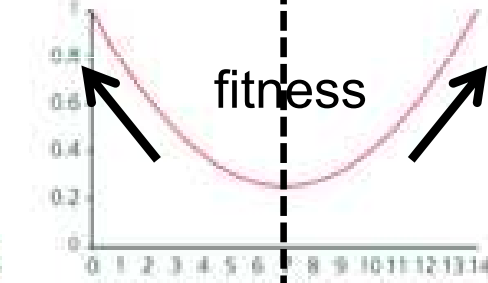
disruptivní



tyto fenotypy jsou odstraňovány selekcí

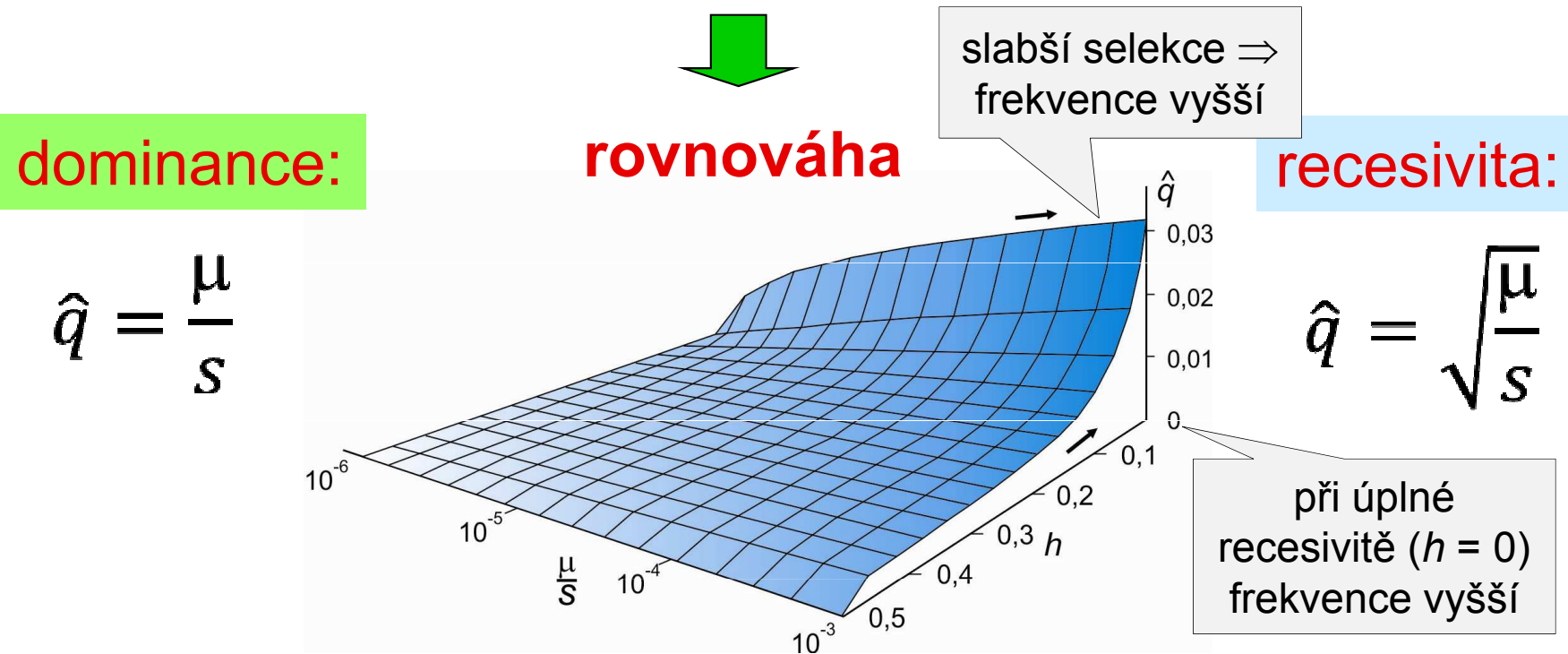


heterogenní prostředí
potlačení průměru
větší rozptyl



Rovnováha selekce a mutace

opakovaný vznik škodlivé alely × její eliminace selekcí

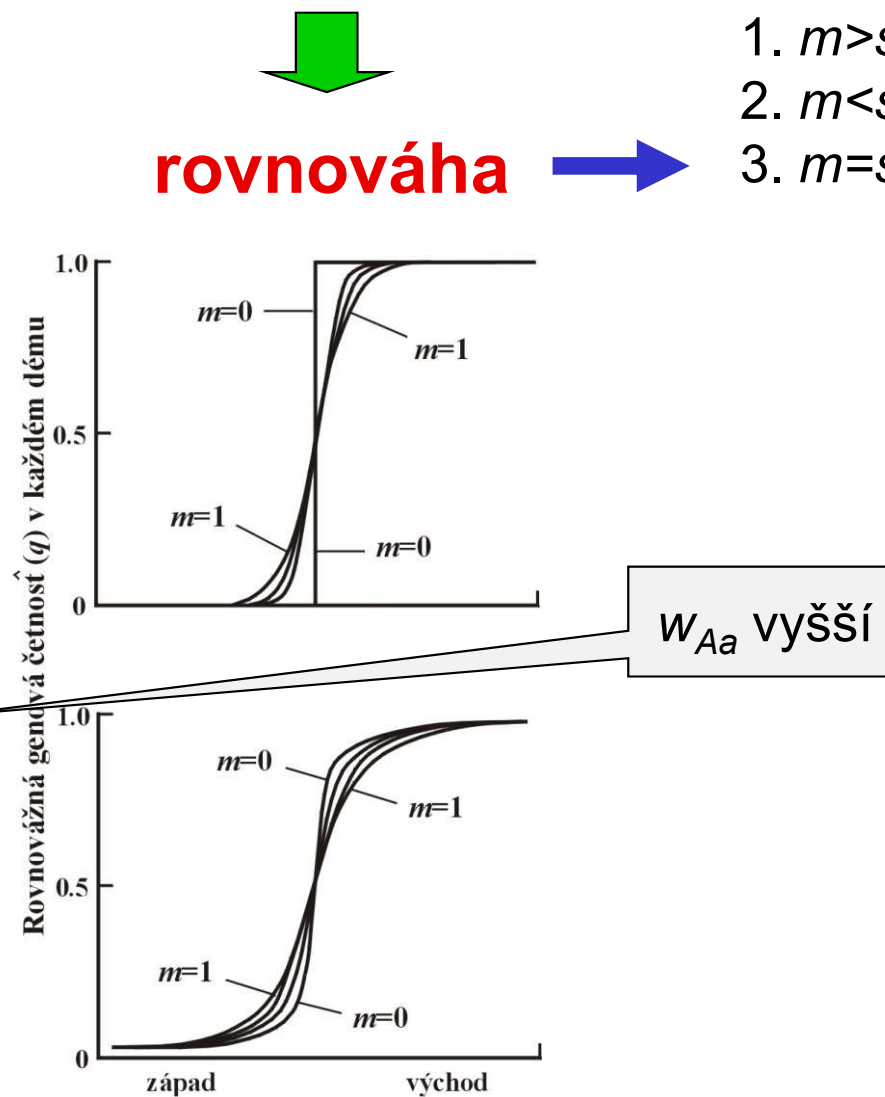
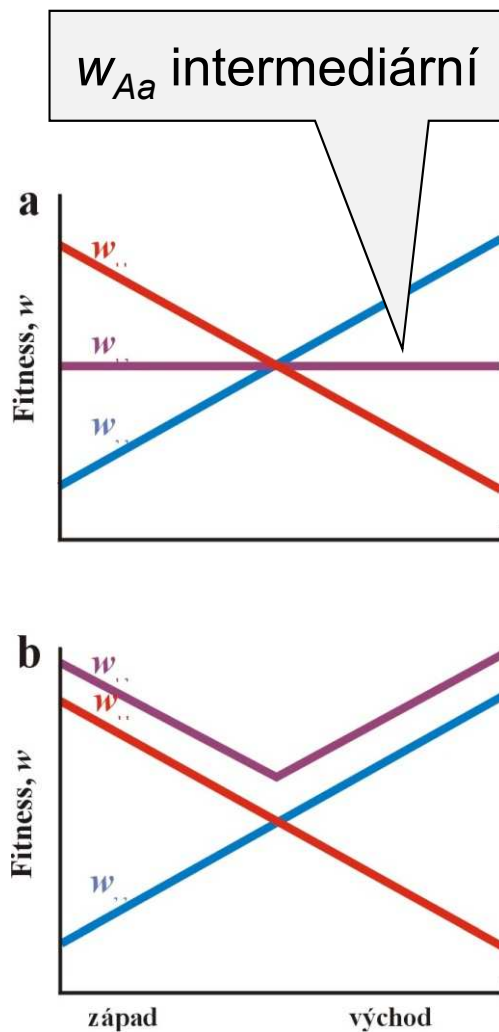


Mullerův-Haldaneův princip:

Bez ohledu na dominanci/recesivitu škodlivé mutace je její vliv na snížení fitness populace nezávislý na tom, do jaké míry je škodlivá.

Rovnováha selekce a migrace

opakováný „vtok“ škodlivé alely \times její eliminace selekcí

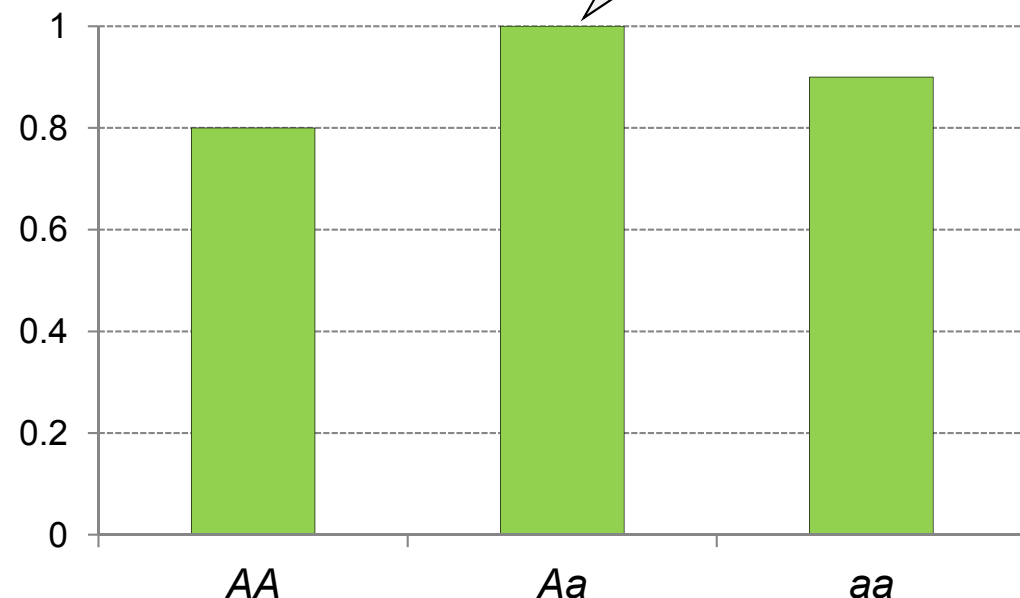


Balancující selekce

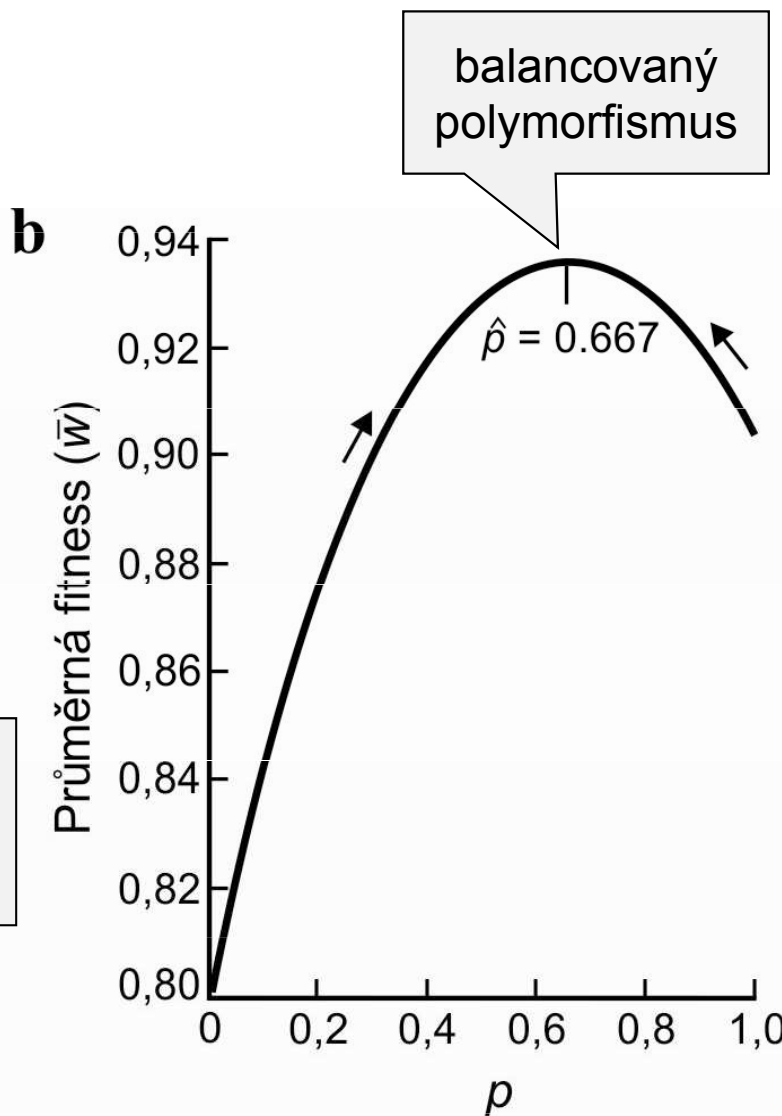
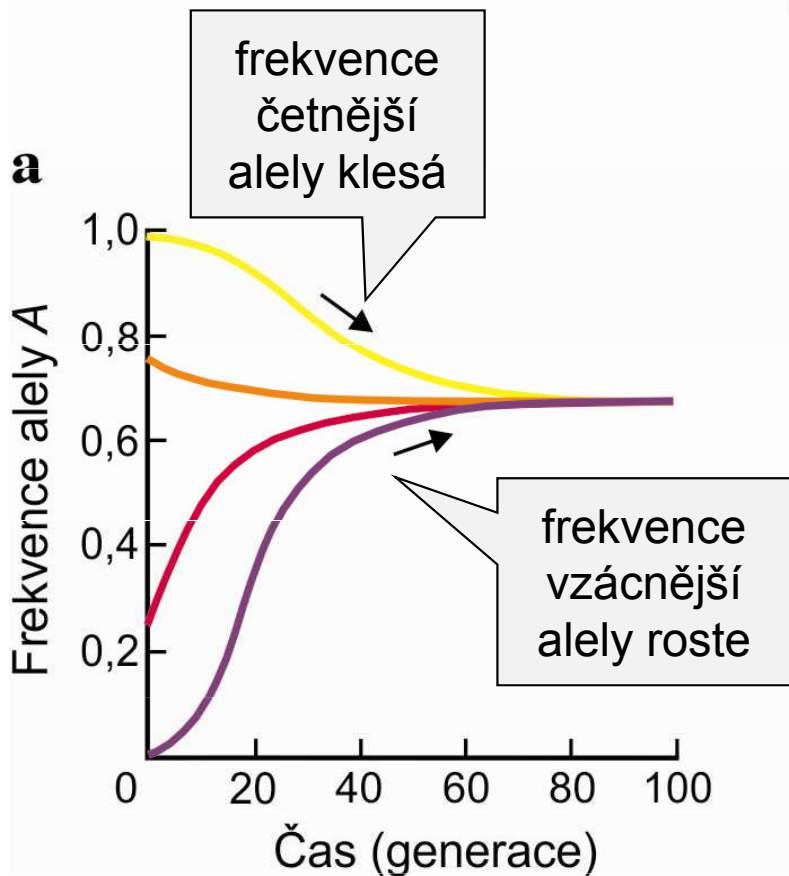
1. Selektivní výhoda heterozygotů = superdominance
(*overdominance*)

$$w_{AA} < w_{Aa} > w_{aa}$$

fitness heterozygotů
je vyšší než w
homozygotů

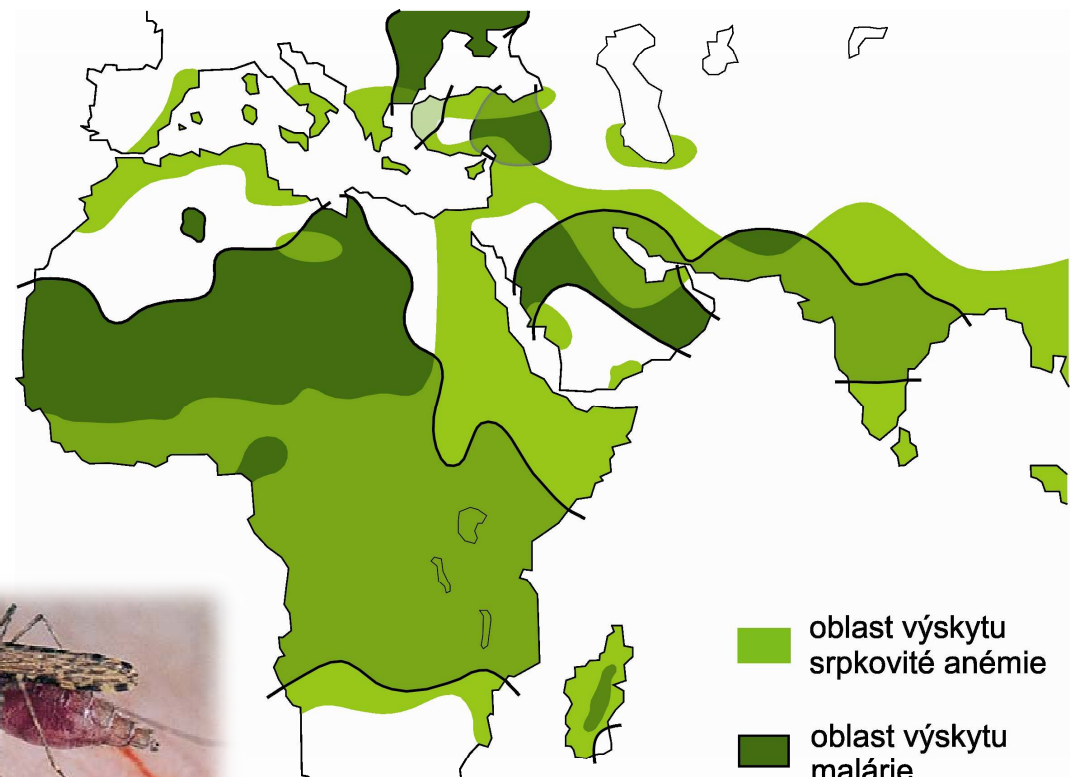
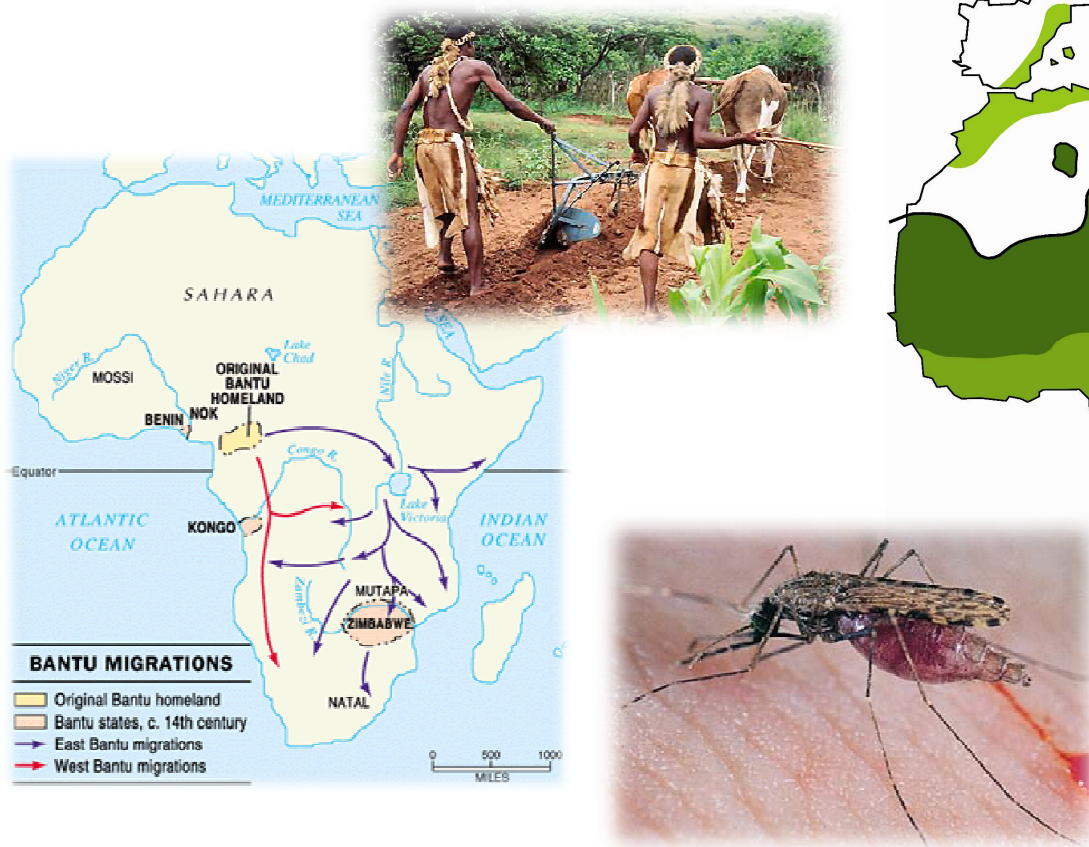


$$W_{AA} < W_{Aa} > W_{aa}$$



Selekce udržuje **rovnovážný polymorfismus**

Př.: srpkovitá anémie a malárie



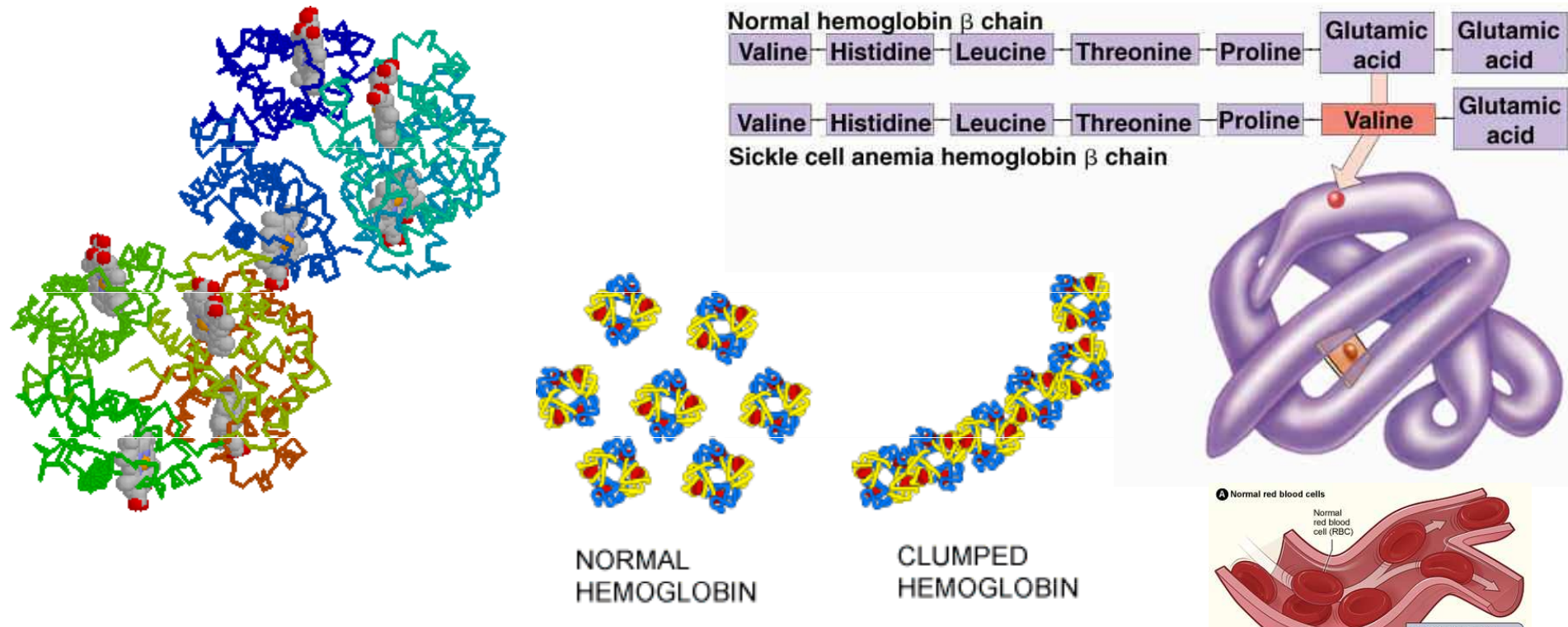
před ~ 2000 lety expanze kmenů jazykové skupiny bantu

vypalování savan a pralesů, růst populační hustoty → vhodné podmínky pro komáry *Anopheles* (*A. gambiae*), hostitele zimničky tropické (*Plasmodium falciparum*)

⇒ malárie

Srpkovitá anémie a malárie:

srpkovitá anémie: alela S: substituce 1 AA na 6. pozici v 6. kodonu genu β -Hb:

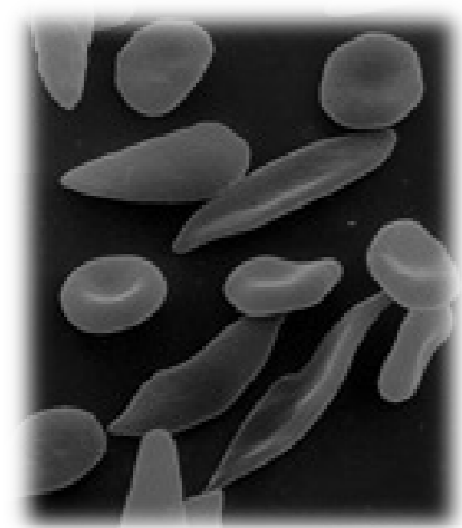
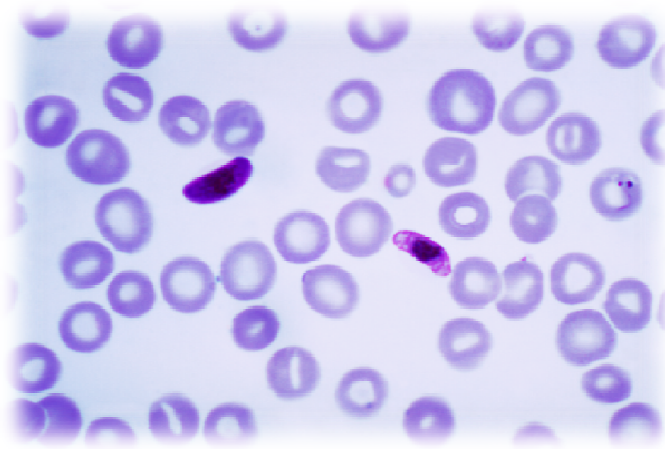


při nízkých koncentracích $O_2 \rightarrow$ tvorba podlouhlých krystalů

⇒ **chudokrevnost** (anémie)

AS – pouze přenos anémie, SS – silná anémie

srpkovitý erytrocyt napadený zimničkou rychle praská \Rightarrow *Plasmodium* se nemůže pomnožit \Rightarrow rezistence
 \rightarrow výhoda heterozygotů



Relativní fitness genotypů spojených se srpkovitou anémií:

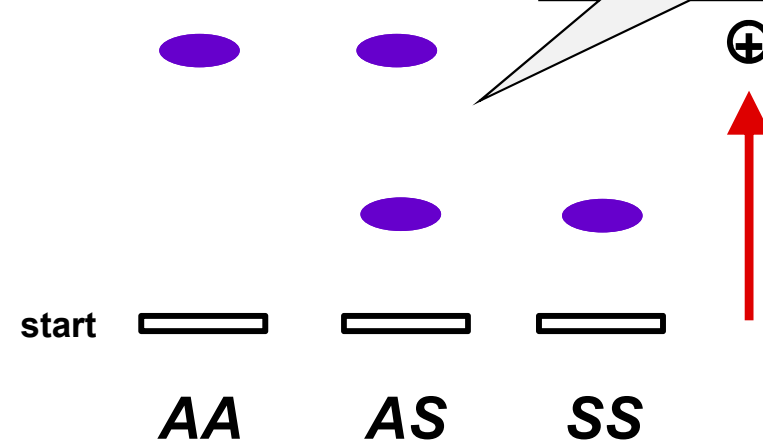
Table 11.1. Phenotypic Attributes and Relative Fitnesses (Viabilities) of Six Genotypes Formed by A, S, and C Alleles at β -Hb Locus in Humans in Wet, Tropical Africa

Genotype	Phenotypic Attributes	Fitness in Nonmalarial Environment	Fitness in Malarial Environment
AA	Malarial susceptibility	1.00	0.89
AS	Malarial resistance	1.00	1.00
SS	Hemolytic anemia	0.20	0.20

Fenotypy spojené s alelou S:

obě alely jsou
kodominantní

1. Pohyblivost v elektrickém poli



normální
erytrocyt

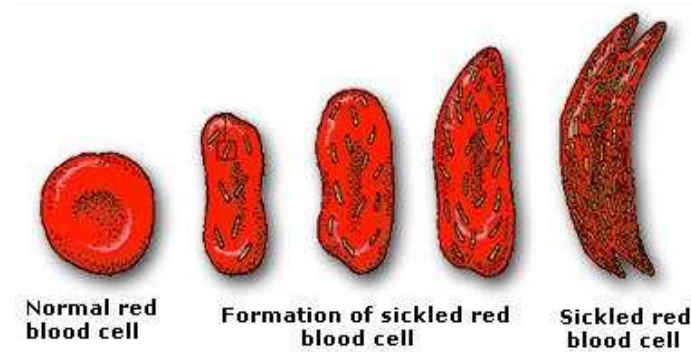
srpkovitý
erytrocyt

srpkovitý
erytrocyt

AA

AS

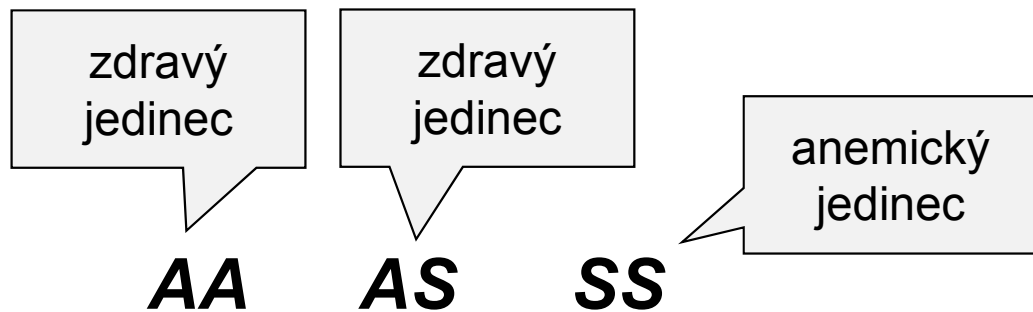
SS



2. Srpkovitost

srpkovitost u SS i AS jedinců \Rightarrow z hlediska deformace je S dominantní

Fenotypy spojené s alelou S:



3. Anémie

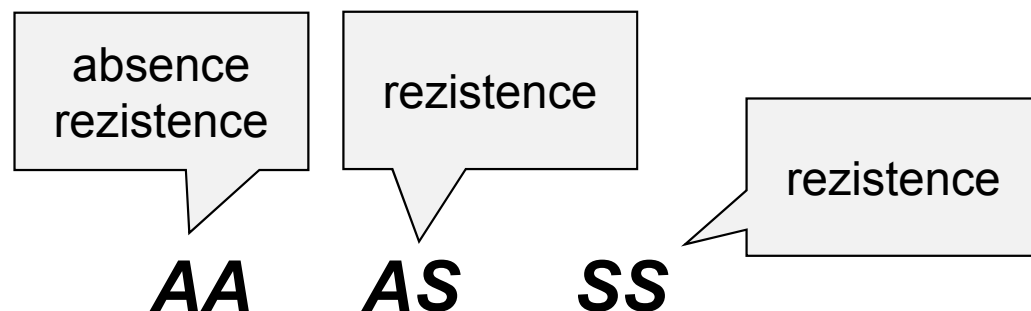
u jedinců SS řetězce delší \Rightarrow větší deformace krvinek \Rightarrow fatálnější dopady na organismus: rozpad krvinek (anémie), ucpávání cév atd.

klinický syndrom jen u SS \Rightarrow alela S vůči A recesivní

Fenotypy spojené s alelou S:

4. Rezistence vůči malárii

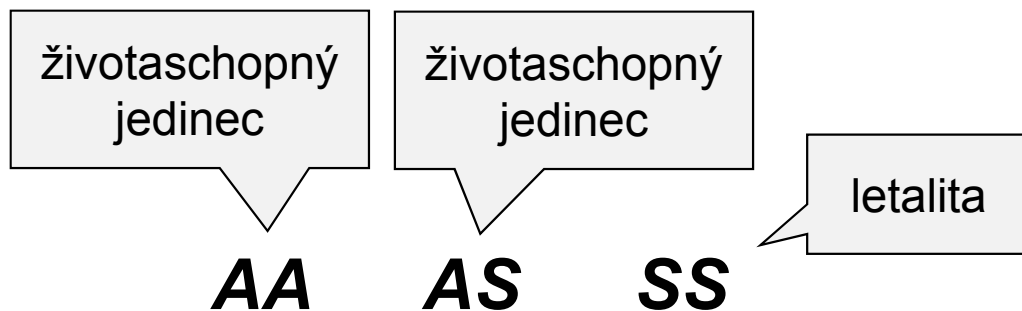
z hlediska rezistence alela S dominantní



Fenotypy spojené s alelou S:

5. Životaschopnost

nemalarické prostředí: S recesivní



malarické prostředí: SS – silná anémie; AA – malárie; AS – žádná anémie, slabá malárie \Rightarrow alela S je superdominantní

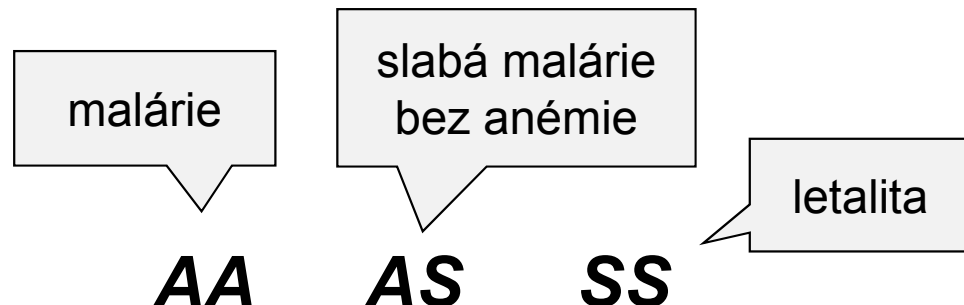


Table 11.1. Phenotypic Attributes and Relative Fitnesses (Viabilities) of Six Genotypes Formed by A, S, and C Alleles at β -Hb Locus in Humans in Wet, Tropical Africa

Genotype	Phenotypic Attributes	Fitness in Nonmalarial Environment	Fitness in Malarial Environment
AA	Malarial susceptibility	1.00	0.89
AS	Malarial resistance	1.00	1.00
SS	Hemolytic anemia	0.20	0.20
AC	Malarial susceptibility	1.00	0.89
SC	Hemolytic anemia	0.71	0.70
CC	Malarial resistance	1.00	1.31

Note: The fitness of the AS heterozygote is set to 1. The malarial fitnesses are estimated from data given in Cavalli-Sforza and Bodmer (1971).

Vznik alely C v prostředí polymorfismu AS:

možné genotypy: $w_{AC} = 0,89$; $w_{SC} = 0,70$

$w_{AS} = 1,00 \Rightarrow$ selekce působí proti prospěšné alele!

Přestože alela C vysoce prospěšná, selekce bude její frekvenci snižovat až do její úplné eliminace!!

Rezistence proti malárii může být zprostředkována jinými mechanismy:

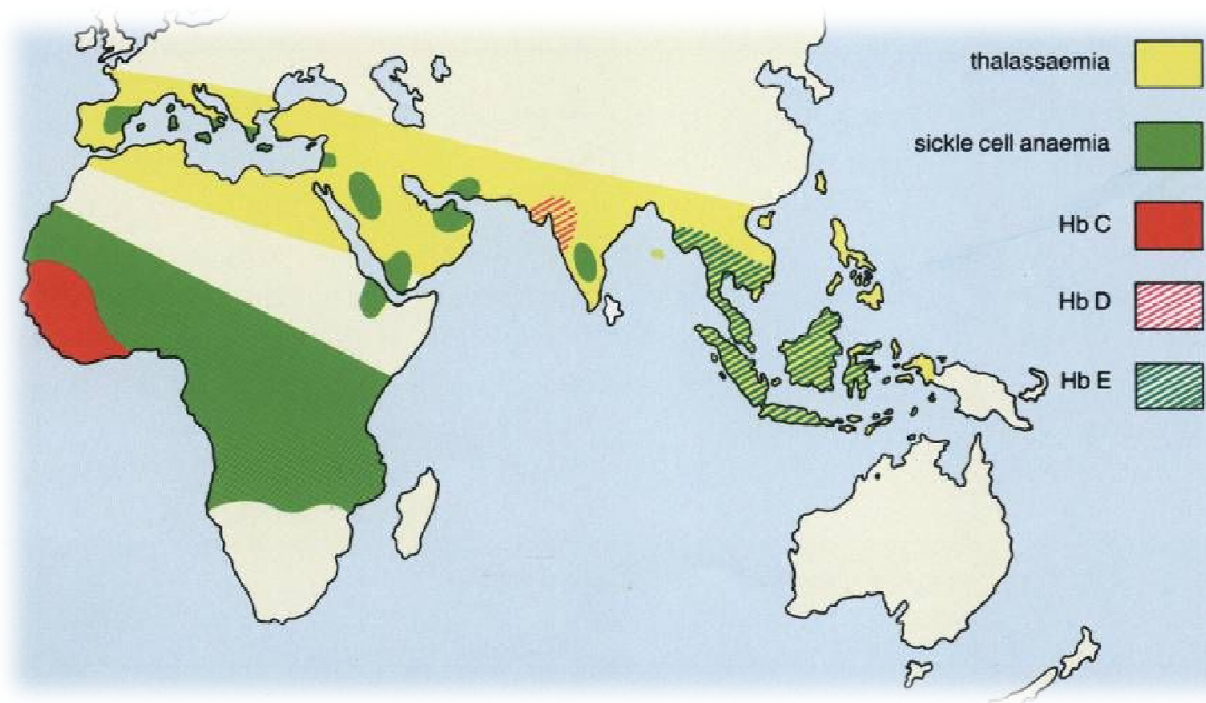
hemoglobin E (JV Asie)

α - a β -talasémie

G6PD^{*)} deficiency

Pk^{**) deficiency}

etc. etc.



*) glukózo-6-fosfát dehydrogenáza

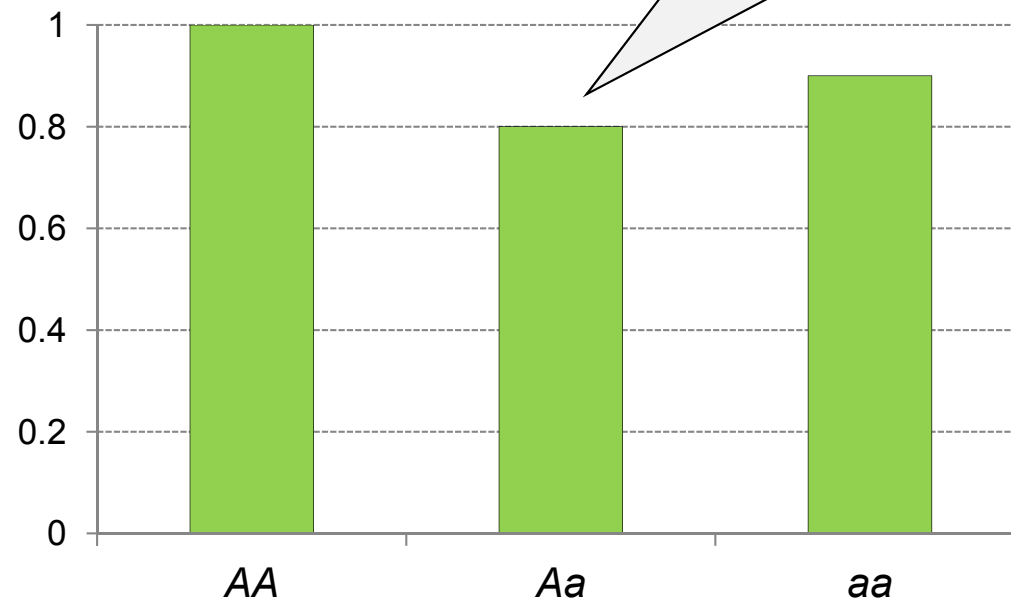
**) pyruvát kináza

Selekce ve prospěch heterozygotů je však v přírodě málo rozšířená

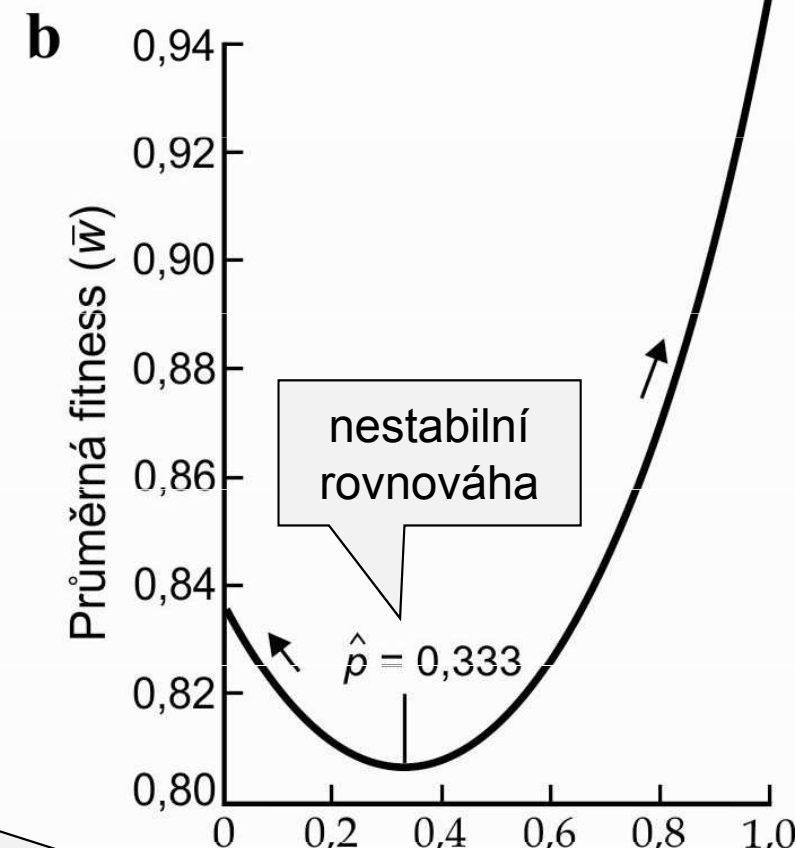
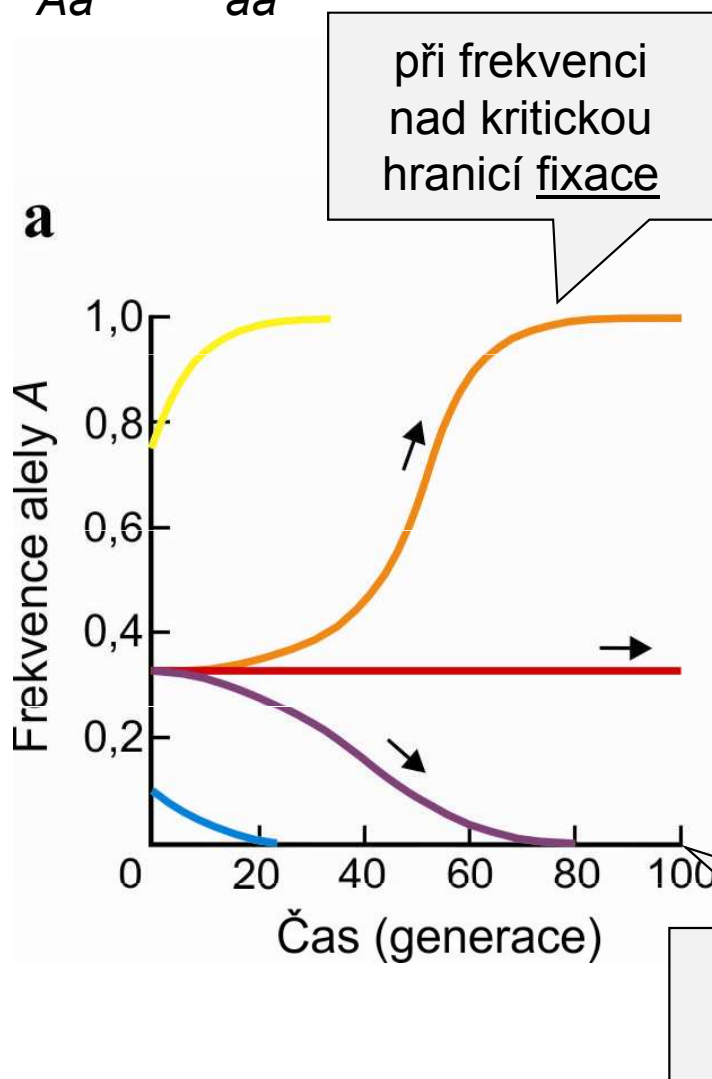
Alternativní rovnováha: selekce proti heterozygotům (*underdominance*)

$$W_{AA} > W_{Aa} < W_{aa}$$

fitness heterozygotů
je nižší než w
homozygotů



$$W_{AA} > W_{Aa} < W_{aa}$$



Selekce vede k fixaci jedné z alel (a extinkci druhé)

2. Selekce v proměnlivém prostředí

variabilita prostředí:

v prostoru

v čase

v hrubém měřítku: během života jedno prostředí

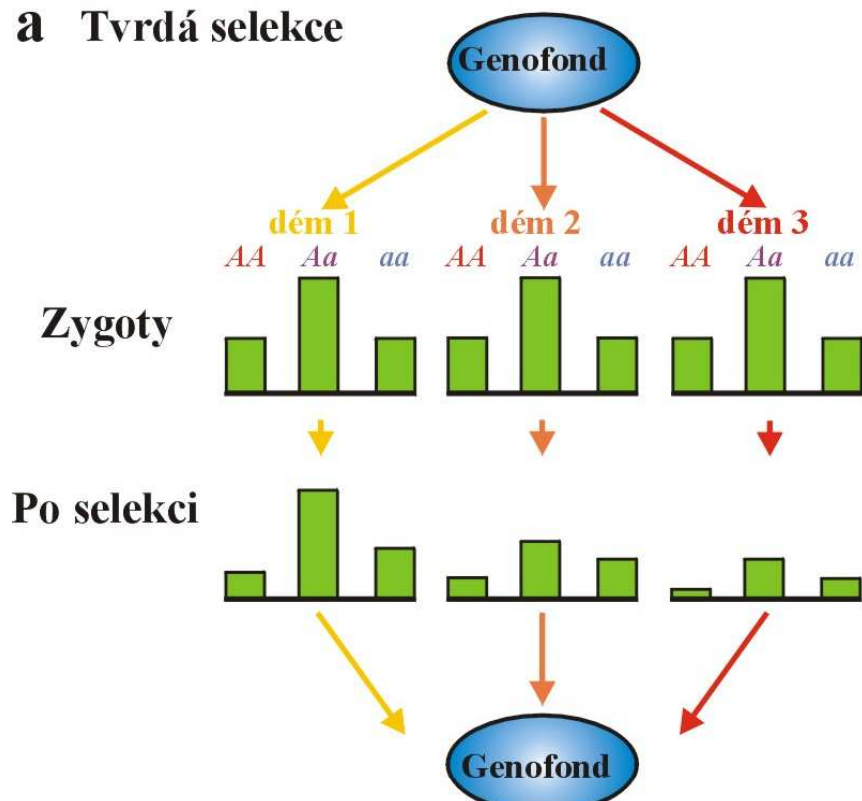
v jemném měřítku: během života více prostředí

selekce: měkká
 tvrdá

tvrdá

selekce

a Tvrda selekce



Silene vulgaris
ssp. *humilis*



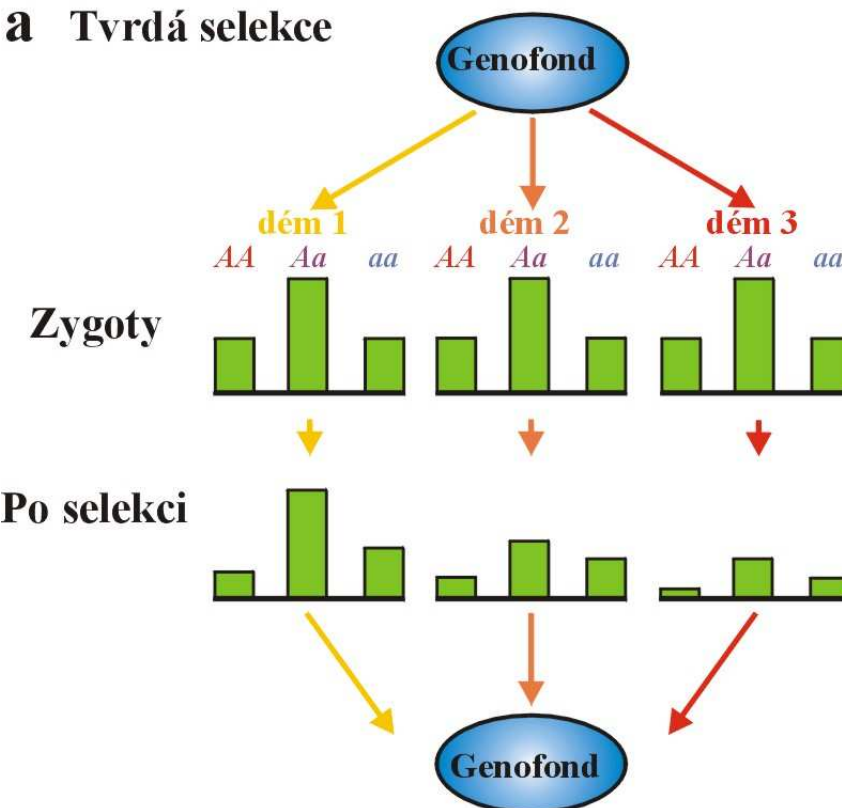
Minuartia
verna

selekce

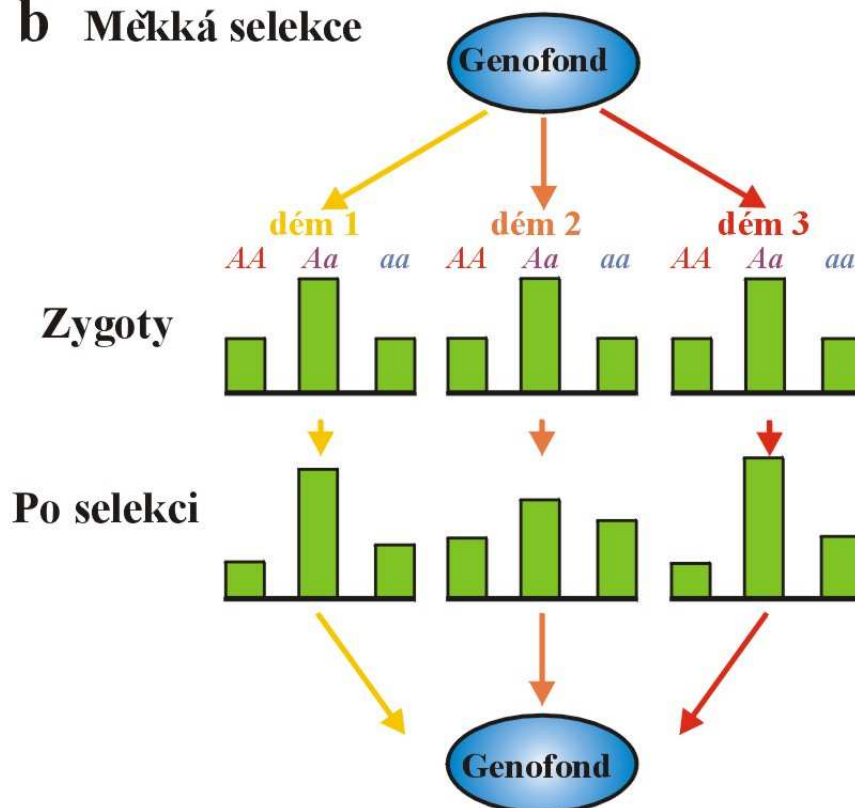
tvrdá

měkká

a Tvrda selekce



b Měkká selekce



prostředí proměnlivé v hrubém měřítku a měkká selekce budou v populaci udržovat polymorfismus s vyšší pravděpodobností než proměnlivost v jemném měřítku a tvrdá selekce

3. Antagonistická selekce

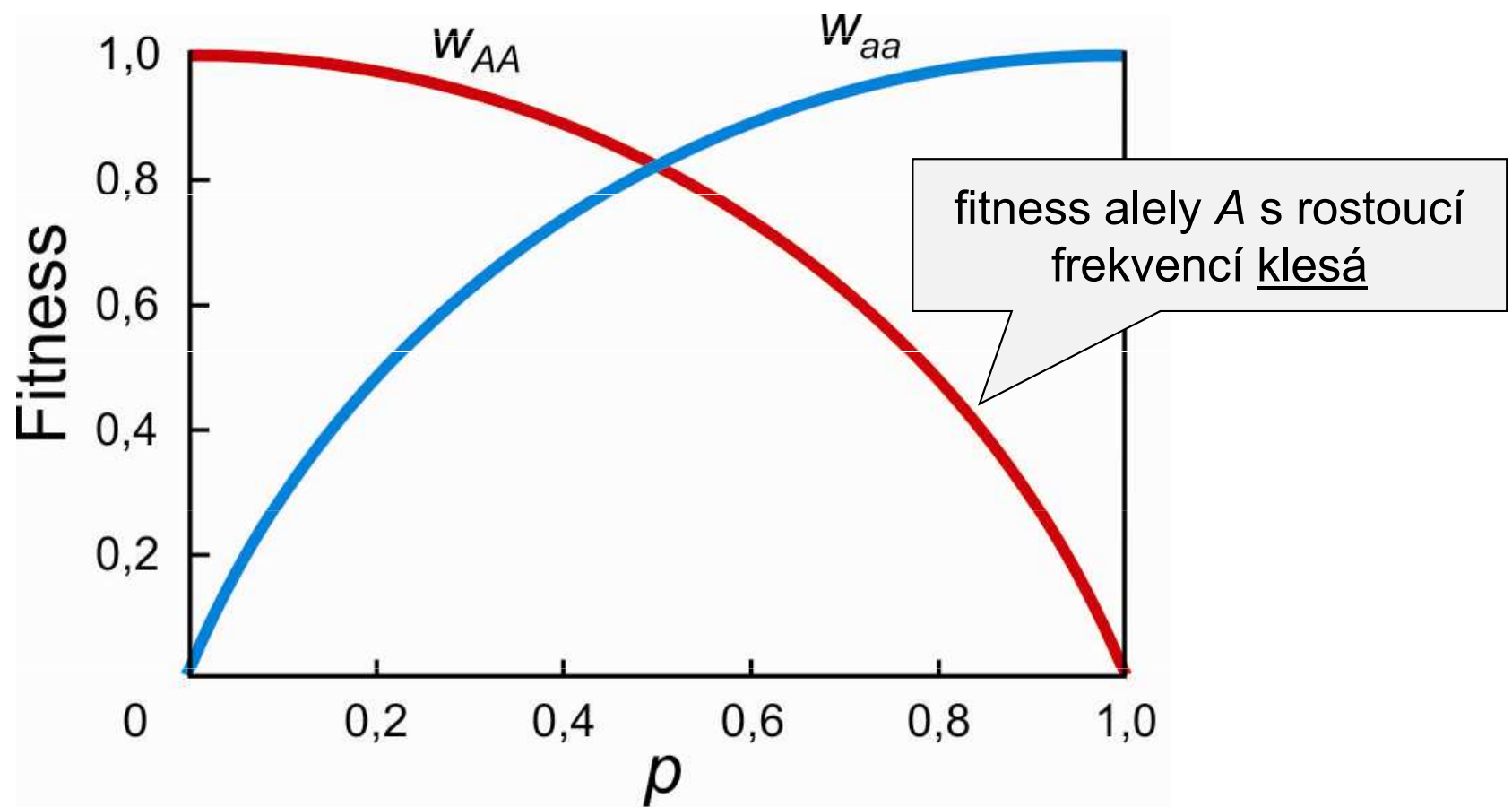
různá pohlaví

různá vývojová stadia

gametická × zygotická fáze

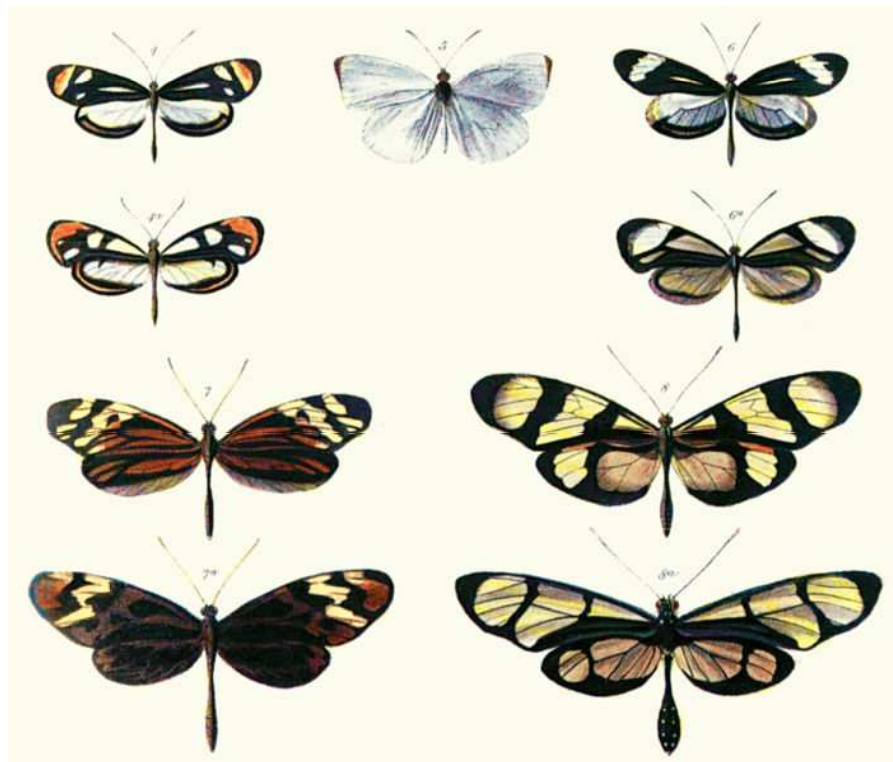
4. Selekcce závislá na frekvenci

I. Negativní frekvenčně-závislá selekce

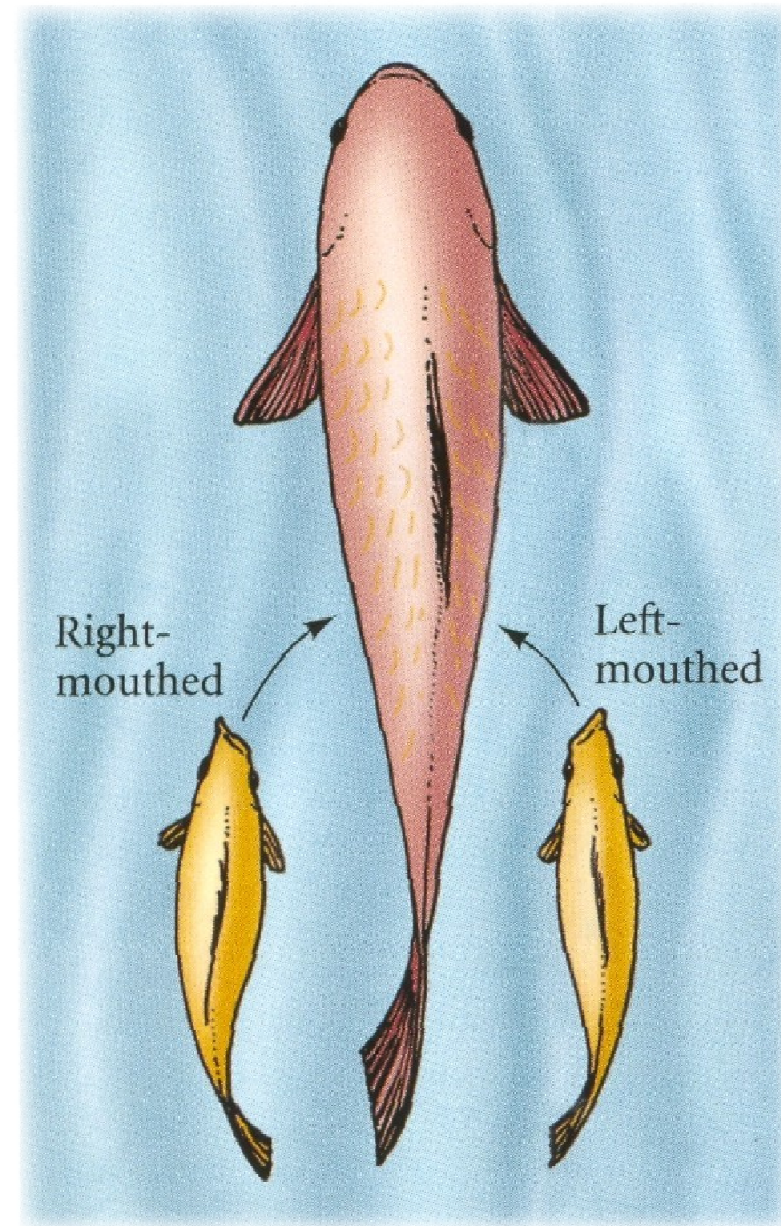


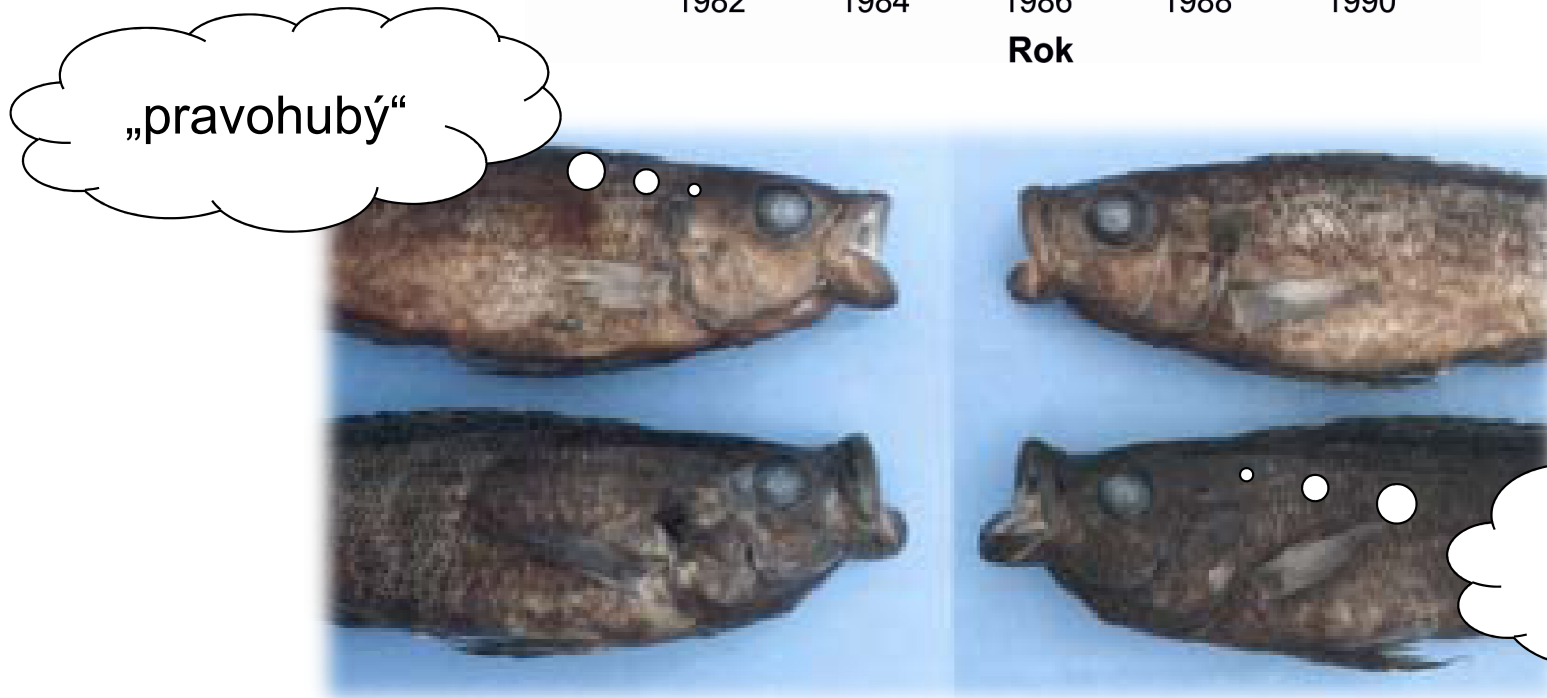
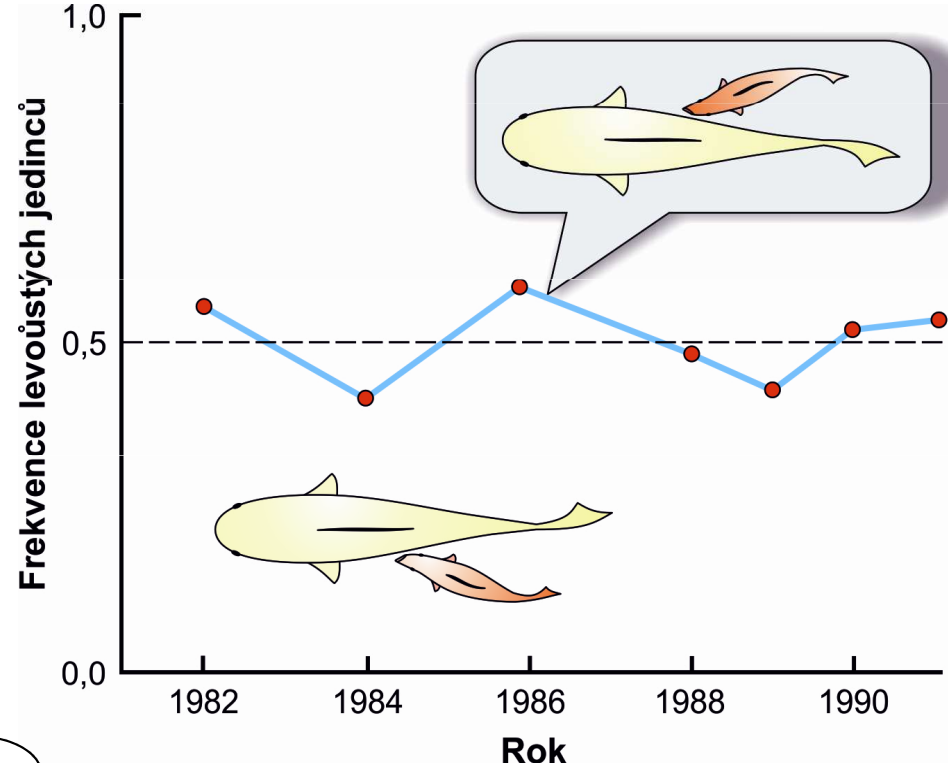
Př.: batesovské mimikry

[v tomto případě jde spíše o selekci závislou na hustotě (*density-dependent selection*)]



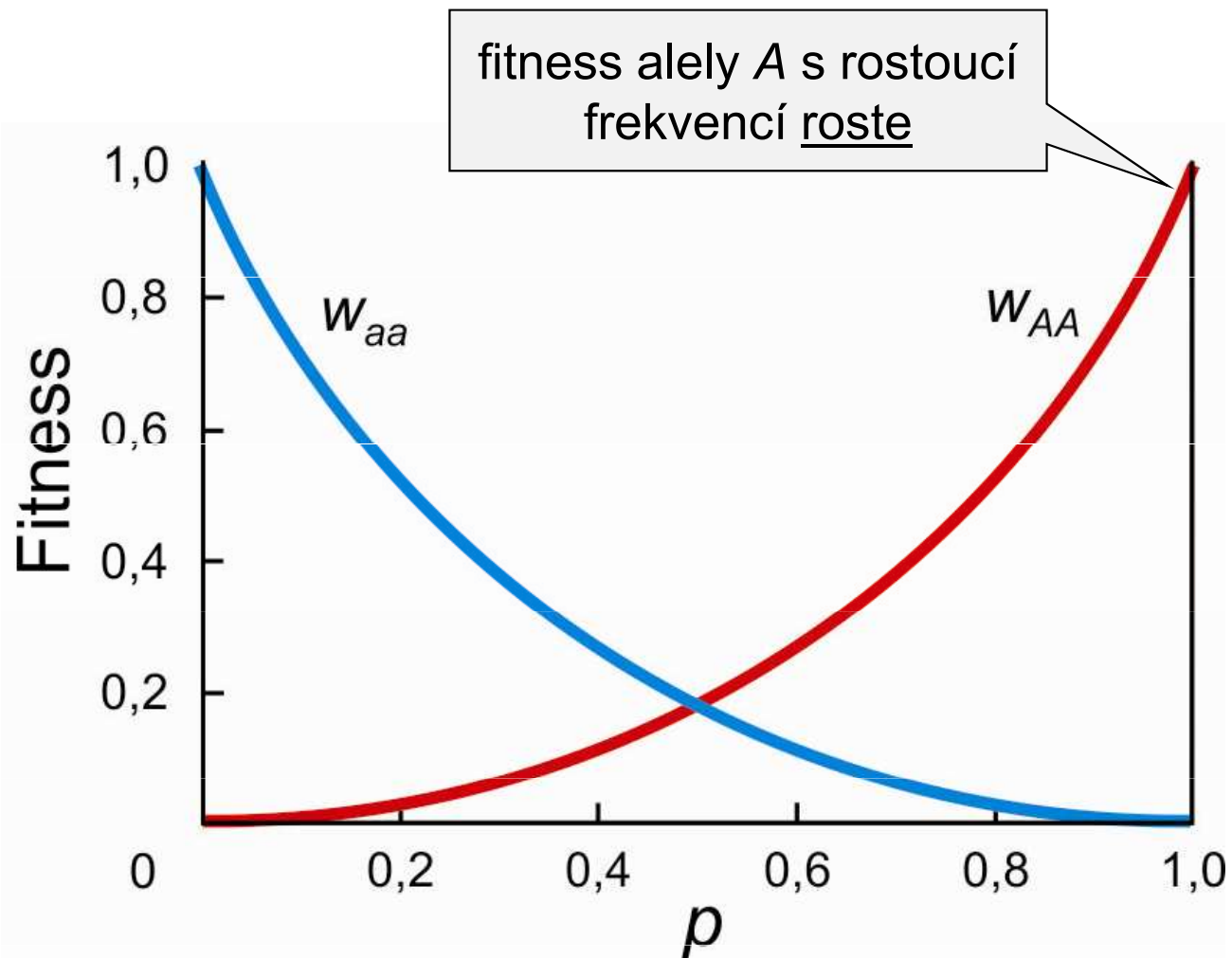
Př.: cichlida *Perissodus microlepis* (Tanganika)





4. Selekcce závislá na frekvenci

II. Pozitivní frekvenčně-závislá selekce

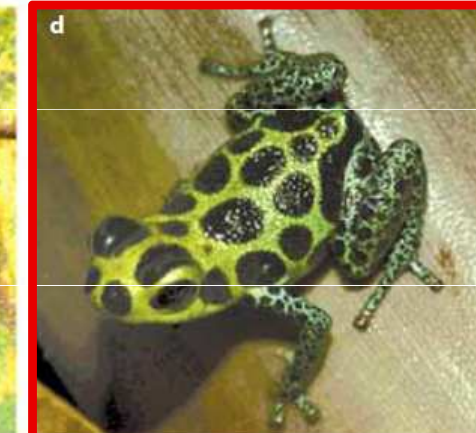
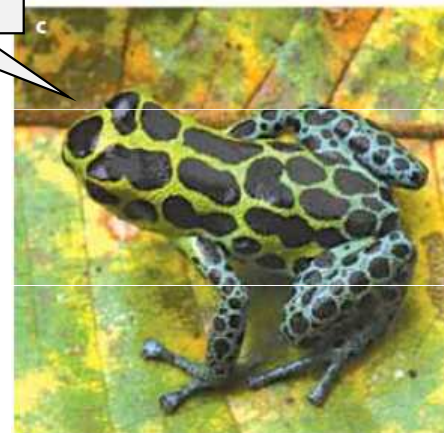


müllerovské mimikry:

Amereega hahneli
(jedovatá)



R. variabilis
(jedovatá)

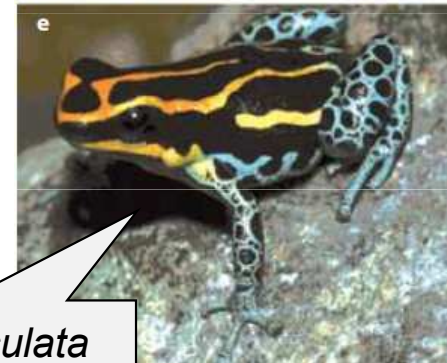


Heliconius melpomene



H. erato

R. ventrimaculata
(jedovatá)



Lithodytes lineatus
(neškodná; batesovské
mimikry)

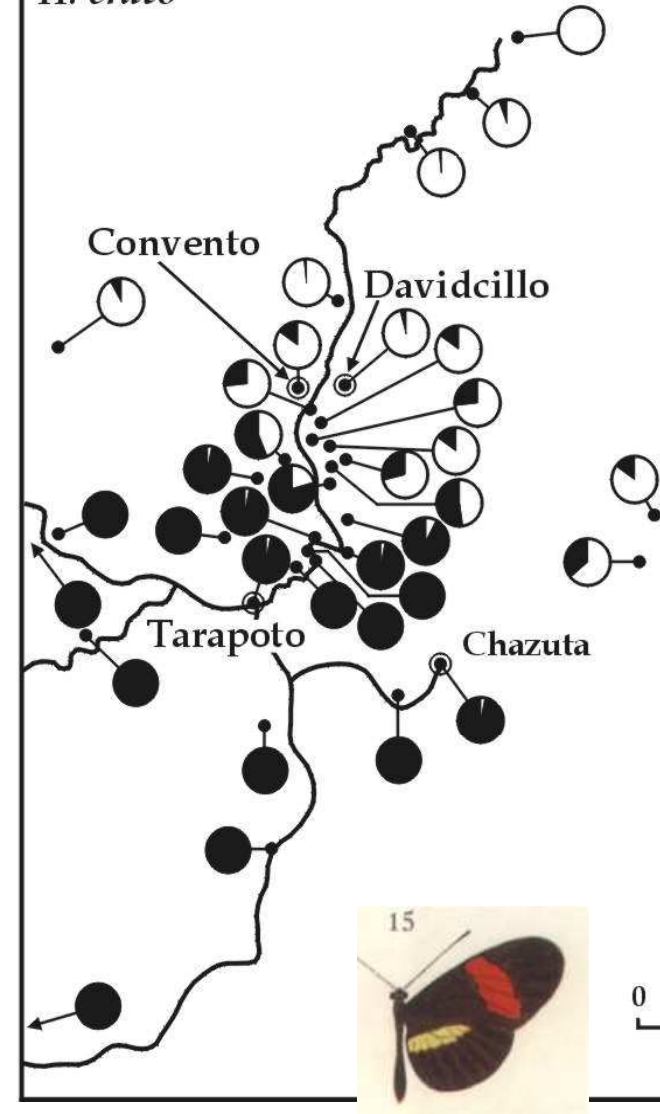
Ranitomeya imitator
(d,f; jedovatá)

Heliconius erato



(a)

H. erato

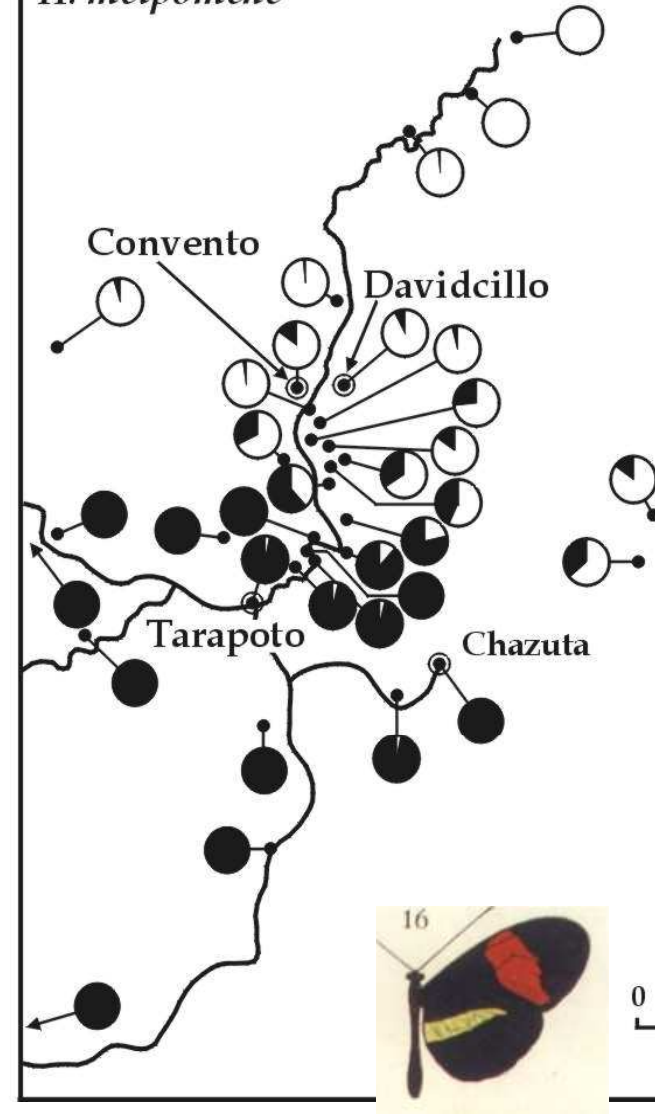


H. melpomene

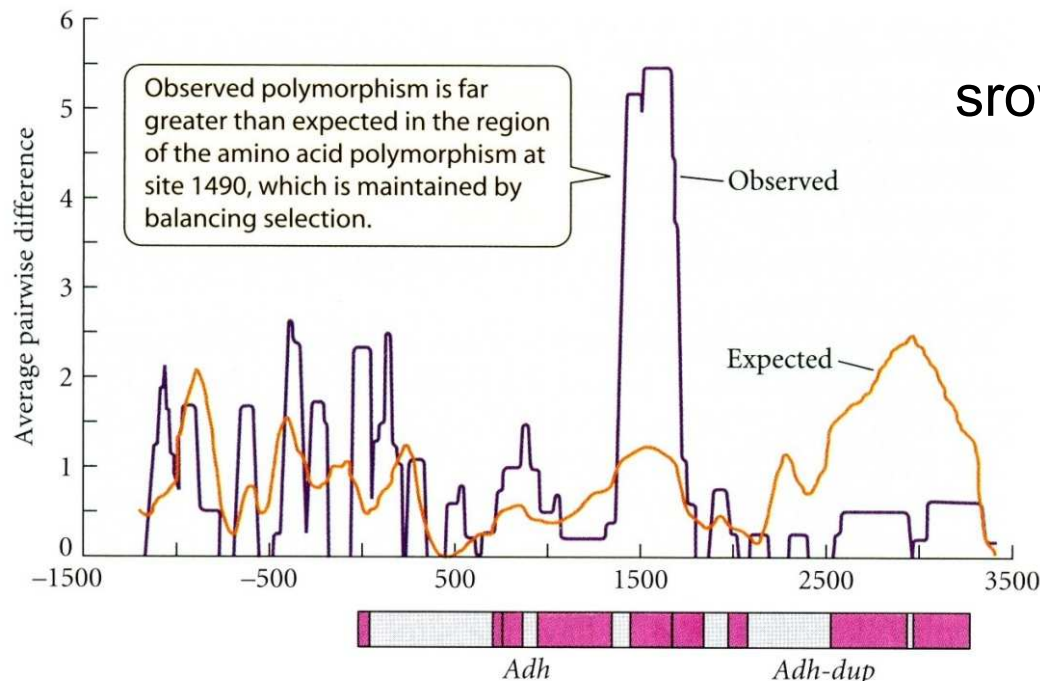


(b)

H. melpomene



Balancující selekce na molekulární úrovni:



srovnání skutečného a očekávaného polymorfismu v genu ADH

alely šimpanze (C) více podobné alelám člověka (H) než jiným C-allelám

geny MHC komplexu

